

การตรวจสอบจุลโครงสร้างและสมบัติทางกลของเหล็กหล่อจากผู้ผลิตใน
จังหวัดอุบลราชธานี

Testing of Microstructure and Mechanical Property in Cast Iron
from Industry in Ubon Ratchathani

โดย

เรวัฒน์ เหล่าไพบูลย์

จินตนา เหล่าไพบูลย์

ดวีวรรณ ชัยวัฒนา

ภาควิชาฟิสิกส์ คณะวิทยาศาสตร์

มหาวิทยาลัยอุบลราชธานี

โครงการวิจัยนี้ได้รับการสนับสนุนจากสำนักงบประมาณแผ่นดิน
ปีงบประมาณ ๒๕๔๑

กิติกรรมประกาศ

คณบดีวิจัยขอขอบคุณสถาบันการวิจัยแห่งชาติ และสำนักงานประปาที่ให้การสนับสนุนโครงการวิจัย การตรวจสอบจุดโครงการสร้างและสมบูดีทางกลของเหล็กหล่อจากผู้ผลิตในจังหวัดอุบลราชธานี ในปีงบประมาณ 2541

ขอขอบคุณ คณบดีคณะวิทยาศาสตร์ มหาวิทยาลัยอุบลราชธานี ที่ให้การสนับสนุนโครงการวิจัยนี้
ขอขอบคุณ คุณสมหวัง บรรเทา ที่อ่านรับความคิดเห็นและส่งตัวอย่างในการวิเคราะห์
หน้าปริเมียของชาติที่พัฒนาอยู่ในเหล็กหล่อ

ขอขอบคุณ คุณสุกaphor บุศราวน ที่ได้จัดพิมพ์รายงานการวิจัยฉบับนี้ และขอขอบคุณ
โรงหล่ออนิรันดร์ ตนนอุบล - โครงการพิชผล ดำเนินงานใหญ่ อ้าแภอมเมือง จังหวัดอุบลราชธานี ที่ได้กรุณาให้เก็บ
ตัวอย่างเหล็กหล่อ และให้ข้อมูลต่าง ๆ ตลอดจนอ่านรับความคิดเห็นแก่คณบดีวิจัยในครั้งนี้ด้วย

คณบดีวิจัย

28 เมษายน 2542

สารบัญรูปประกอบ

รูปที่	หน้า
2.1 แผนภูมิการสมดุลเบรเวจเมล็ดและเหล็กคาร์บอนด์	3
2.3.1 ลักษณะการกระจายตัวของกราไฟต์แบบต่างๆ ในเหล็กหล่อสีเทา	7
2.5 รูปร่างของคิวไปคลา	8
3.1.1 เครื่องตัดชิ้นตัวอย่าง	12
3.1.2 เครื่องทดสอบแรงดึง	12
3.1.3 เครื่องทดสอบแรงกระแทก	13
3.1.4 เครื่องทดสอบความแข็ง	13
3.1.5 เครื่องขัดคิวชิ้นงาน	14
3.1.6 เครื่องตรวจสอบจุดไฟรั่วของเหล็ก	14
3.2.1 ลักษณะการเก้น้ำเหล็ก	15
3.2.2 แบบหล่อหราย	15
3.2.3 ชิ้นตัวอย่างที่ได้มีอ่อนล่อเสริฐ	16
3.2.4 เครื่อง Spark Optical Emission Spectrometer	16
3.2.5 ขนาดของชิ้นตัวอย่างเพื่อทดสอบแรงดึง	17
3.2.6 ขนาดของชิ้นตัวอย่างเพื่อทดสอบแรงกระแทก	17
3.2.7 ชิ้นตัวอย่างเพื่อทดสอบความแข็ง	18
3.2.8 ชิ้นตัวอย่างเพื่อตรวจสอบจุดไฟรั่ว	18
4.7.1 โครงสร้างจุลภาคของเหล็กหล่อสีเทา ก้อนกัดกรด กำลังขยาย x 100	27
4.7.2 โครงสร้างจุลภาคของเหล็กหล่อสีเทา ก้อนกัดกรด กำลังขยาย x 100	27
4.7.3 โครงสร้างจุลภาคของเหล็กหล่อสีเทา กัดกรด 3% Nital กำลังขยาย x 500	28
4.7.4 โครงสร้างจุลภาคของเหล็กหล่อสีเทา ก้อนกัดกรด กำลังขยาย x 100	29
4.7.5 โครงสร้างจุลภาคของเหล็กหล่อสีเทา ก้อนกัดกรด กำลังขยาย x 100	29
4.7.6 โครงสร้างจุลภาคของเหล็กหล่อสีเทา กัดกรด 3% Nital กำลังขยาย x 500	30
4.7.7 โครงสร้างจุลภาคของเหล็กหล่อสีเทา ก้อนกัดกรด กำลังขยาย x 100	31
4.7.8 โครงสร้างจุลภาคของเหล็กหล่อสีเทา กัดกรด 3% Nital กำลังขยาย x 500	32

รูปที่	หน้า
4.7.9 โครงสร้างจุลภาคของเหล็กหล่อสีเทา ก่อนกัดกรด กำลังขยาย x 100	33
4.7.10 โครงสร้างจุลภาคของเหล็กหล่อสีเทา ก่อนกัดกรด กำลังขยาย x 100	33
4.7.11 โครงสร้างจุลภาคของเหล็กหล่อสีเทา ก่อนกัดกรด กำลังขยาย x 100	34
4.7.12 โครงสร้างจุลภาคของเหล็กหล่อสีเทา ก่อนกัดกรด กำลังขยาย x 100	35
4.7.13 โครงสร้างจุลภาคของเหล็กหล่อสีเทา ก่อนกัดกรด กำลังขยาย x 100	35
4.7.14 โครงสร้างจุลภาคของเหล็กหล่อสีเทา กัดกรด 3 % Nital กำลังขยาย x 500	36
4.7.15 โครงสร้างจุลภาคของเหล็กหล่อสีเทา ก่อนกัดกรด กำลังขยาย x 100	37
4.7.16 โครงสร้างจุลภาคของเหล็กหล่อสีเทา ก่อนกัดกรด กำลังขยาย x 100	37
4.7.17 โครงสร้างจุลภาคของเหล็กหล่อสีเทา กัดกรด 3 % Nital กำลังขยาย x 500	38
4.7.18 โครงสร้างจุลภาคของเหล็กหล่อสีเทา ก่อนกัดกรด กำลังขยาย x 100	39
4.7.19 โครงสร้างจุลภาคของเหล็กหล่อสีเทา ก่อนกัดกรด กำลังขยาย x 100	39
4.7.20 โครงสร้างจุลภาคของเหล็กหล่อสีเทา กัดกรด 3 % Nital กำลังขยาย x 500	40
ฯ. 1 รูปร่างของชิ้นทดสอบแรงดึง	45
ฯ. 2.1 รูปร่างของชิ้นทดสอบการกระแทกขาร์บี ร่องนากรูป U	46
ฯ. 2.2 ตัวอย่างการทดสอบแรงกระแทก	47
ฯ. 3 ตัวอย่างของการทดสอบความแข็งบริเนลล์	47

สารบัญตารางประกอบ

ตารางที่	หน้า
2.1 ความแข็งของโครงสร้างแบบต่าง ๆ (โดยประมาณ)	5
4.1.1 ข้อมูลในการหล่อเหล็ก	20
4.1.2 ข้อมูลการเทน้ำเหล็กลงในแบบหล่อ	21
4.3.1 ปริมาณของชาตุในเหล็กหล่อ	22
4.4.1 ผลการทดสอบแรงดึง	23
4.5.1 ผลการทดสอบแรงกระแทก	25
4.6.1 ผลการทดสอบความแข็งจากเหล็กหล่อสีเทาชุดที่ 1	26
4.6.2 ผลการทดสอบความแข็งจากเหล็กหล่อสีเทาชุดที่ 2	26
ท. 1 ขนาดของชิ้นทดสอบแรงดึง	46
ท. 3 หัวอุปกรณ์และข้อกำหนด	48
ท.1.1 เหล็กหล่อสีเทาตามมาตรฐานต่าง ๆ	50
ท.1.2 แม่คดงท่วงพัฒนาทางคณีของเหล็กหล่อสีเทาตามมาตรฐาน ASTM A 159 - 72	51
ท.1.3 แม่คดงคุณสมบัติของเหล็กหล่อสีเทา	53
ท.1.4 American Society for Testing and Materials ASTM	54
ท.1.5 Designations , Minimum Mechanical Properties, Approximate Compositions , and Typical Applications for Various Gray , Nodular , and Malleable Cast Irons	55

สารบัญ

	หน้า
บทคัดย่อ	๑
ABSTRACTS	๒
กิติกรรมประการ	๓
สารนัยฐานประกอบ	๔
สารบัญตารางประกอบ	๗
สารบัญ	๙
บทที่ ๑ บทนำ	๑
1.1 ความสำคัญและที่มาของปัญหา	๑
1.2 วัตถุประสงค์และขอบเขตของการวิจัย	๑
1.3 สถานที่ทำการวิจัย	๑
1.4 ประโยชน์ที่คาดว่าจะได้รับ	๑
1.5 วิธีดำเนินการวิจัย	๒
บทที่ ๒ เหล็กหล่อ	๓
2.1 ลำดับการเปลี่ยนแปลงในโครงสร้างของเหล็กหล่อจากของเหลวจนเป็น ของแข็งที่อุณหภูมิห้อง	๓
2.2 ชนิดของเหล็กหล่อ	๕
2.3 เหล็กหล่อเต็ม	๕
2.4 คุณสมบัติของเหล็กหล่อเต็ม	๗
2.5 การทดสอบเหล็กหล่อ	๘
บทที่ ๓ วัสดุ อุปกรณ์ เครื่องมือ และวิธีดำเนินการวิจัย	๑๐
3.1 วัสดุ อุปกรณ์ และเครื่องมือที่ใช้ในการวิจัย	๑๐
3.2 วิธีดำเนินการวิจัย	๑๐
บทที่ ๔ ผลการตรวจสอบจุดโครงสร้างและสมบัติทางกลของเหล็กหล่อ	๑๙
4.1 ประเภทของเดาที่ใช้หล่อและข้อมูลค่าต่างๆ ในการหล่อ	๑๙
4.2 วิเคราะห์ประเภทของเหล็กหล่อ	๒๑

	หน้า
4.3 การหาปริมาณของธาตุในเหล็กหล่อ	21
4.4 การทดสอบแรงดึง	22
4.5 การทดสอบแรงกระแทก	25
4.6 การทดสอบความแข็ง	26
4.7 การตรวจสอบอุปกรณ์สร้าง	27
บทที่ 5 สรุปผลการวิจัย	41
 บรรณานุกรม	 42
 ภาคผนวก	
ก. อิทธิพลของธาตุต่าง ๆ ที่มีผลต่อสมบัติทางกล	43
ข. การทดสอบคุณสมบัติทางกลและการตรวจสอบอุปกรณ์สร้าง	45
ค. มาตรฐานเหล็กหล่อสำหรับ	50
ง. ข้อมูลโรงงานอุตสาหกรรม	52

บทคัดย่อ

โครงการวิจัยนี้มีวัตถุประสงค์เพื่อตรวจสอบจุดโครงสร้างและสมบัติทางกลของเหล็กหล่อจากผู้ผลิตในชั้หัวดุมตราฐานนี้ ซึ่งสมบัติทางกลที่ทดสอบได้แก่ การทดสอบแรงดึง การทดสอบแรงกระแทก การทดสอบความแข็ง นอกเหนือไปนี้การหาปริมาณของธาตุที่สำคัญที่มีสมบูรณ์ในเหล็กหล่อ ซึ่งข้อมูลเหล่านี้จะใช้กำหนดค่าทางกลของเหล็กหล่อที่ผลิตได้จากโรงงาน และนำไปปรับปรุงเหล็กหล่อให้มีคุณภาพได้มากขึ้น ~~โดยการเพิ่มปริมาณสารต้านออกซิเดชัน~~ ตลอดจนการนำเหล็กหล่อที่ผลิตได้ไปใช้งานให้เหมาะสม

จากการตรวจสอบจุดโครงสร้างและสมบัติทางกลของเหล็กหล่อปรากฏว่าเป็นเหล็กหล่ออัลลอยหัวร้าไฟฟ์ 5 ประเภท คือ A, B, C, D, และ E ปั๊นกันอยู่ และมีโครงสร้างประกอบด้วย เกรดคุณภาพ A น้ำหนัก 450 g/cm³ ซึ่งเป็นเหล็กที่มีความต้านทานต่อการสึกหรอสูง 4.20 % C, 3.3. % Si, 0.305 % Mn, 0.155 % P, และ 0.70 % S มีแรงดึงสูงสุด 73850 N, ความต้านทานแรงดึงสูงสุด 237 N/mm² การขิดตัว 0.40 - 1.20 % ค่าพัฒนาในการรับแรงกระแทกเป็น 2 ดูดความแข็งบริเนลล์อยู่ในช่วง 212 HB - 276 HB

ABSTRACT

The aim of this project is to testing of microstructure and mechanical property in cast iron from industry in Ubon Ratchathani province. The mechaical properties are tensile test , impact test , hardness test and element composition in cast iron. This data use for improve the properties of cast iron and apply this materials.

It could be concluded from this experiment that the cast iron had the standard of gray cast iron. It had graphite flank type A, B, C, D and E, lamellar pearlite, free ferrite and steadite. The tensile strength was given by 237 N/mm^2 , maximum tensile was 73850 N, elongation was 0.40 - 1.20 %. The energy for impact was given by 2 Joules and the hardness was given by 212 HB - 276 HB.

บทที่ 1บทนำ1.1 ความสำคัญและที่มาของปัญหา

เหลือกหอถ่อเป็นโภคภัณฑ์มีรากที่เป็นองค์ประกอบสำคัญ คือ เหล็ก คาร์บอน ชิลกอน แมงกานีส ฟอสฟอรัส และซัลเฟอร์ ซึ่งรากเหตุเหล่านี้มีผลต่อสมบัติทางกลและจุลโครงสร้างของเหล็กหล่อ เหล็กหล่อที่ใช้ในอุตสาหกรรม มีหลากหลายนิยมแต่ละชนิดเหมาะสมกับการนำไปใช้งานแตกต่างกันไป ด้านการนำไปใช้งานไม่เหมาะสมกับชนิดของเนื้อเหล็กที่ผลิตขึ้นแล้ว คุณภาพของขึ้นงานก็จะไม่ได้มาตรฐาน และอาจเกิดความเสียหายต่อขึ้นงานนั้นได้ ดังนั้นการวิจัยนี้ เพื่อการตรวจสอบและเป็นข้อมูลพื้นฐานของเหล็กหล่อที่ผลิตได้ในจังหวัดอุบลราชธานี และนำเสนอเหล็กหล่อที่ผลิตได้ไปใช้งานให้เหมาะสมดื่อไป

1.2 วัสดุประสงค์และขอบเขตของการวิจัย

- 1.2.1 การตรวจสอบจุลโครงสร้างของเหล็กหล่อจากผู้ผลิตในจังหวัดอุบลราชธานี
- 1.2.2 หาปริมาณของธาตุที่เป็นองค์ประกอบสำคัญในเหล็กหล่อ
- 1.2.3 ทดสอบสมบัติทางกล เช่น ความต้านทานแรงดึง ความต้านทานดัดแรงกระแทก และความแข็งด้านมาตรฐานอุตสาหกรรม

1.3 สถานที่ทำการวิจัย

- 1.3.1 ภาควิชาพิสิกส์ คณะวิทยาศาสตร์ มหาวิทยาลัยอุบลราชธานี
- 1.3.2 โรงหล่อนิรันดร์ 128 ถนนอุบล - ตระการพิชผล ตำบลลงหิน ใหญ่ อุบลราชธานี
- 1.3.3 สถาบันวิจัยวิทยาศาสตร์และเทคโนโลยีโลหะและเคมี มหาวิทยาลัยเชียงใหม่
- 1.3.4 ศูนย์เครื่องมือวิจัยวิทยาศาสตร์และเทคโนโลยีโลหะและเคมี มหาวิทยาลัยเชียงใหม่

1.4 ประโยชน์ที่คาดว่าจะได้รับ

- 1.4.1 เพื่อเป็นข้อมูลพื้นฐานในการปรับปรุงเหล็กหล่อให้มีคุณภาพได้ตามมาตรฐานอุตสาหกรรม
- 1.4.2 การนำเสนอเหล็กหล่อไปใช้งานให้เหมาะสมกับชนิดของเหล็กที่ผลิตขึ้น

1.4.3 น้ำซื่อ มูลที่ได้มาเสริมแนวทางในการเรียนการสอนสาขาวัสดุศาสตร์ ของภาควิชา
พิสิกส์ คณะวิทยาศาสตร์ มหาวิทยาลัยอุบลราชธานี

1.5 วิธีดำเนินการวิจัย

- 1.5.1 ค้นคว้าเอกสารที่เกี่ยวข้องกับการวิจัย
- 1.5.2 ศึกษาระบบที่การผลิตเหล็กหล่อของโรงงาน วัสดุดินที่ใช้ ประเภทของเศษเหล็ก แหล่งการเดินทางค่าใช้จ่ายในเดาหกอน
- 1.5.3 เก็บตัวอย่างเหล็กหล่อจากโรงงาน
- 1.5.4 เครื่องมือที่จะทดสอบค้านค่าใช้จ่าย ให้ได้ขนาดตามมาตรฐานอุตสาหกรรม
- 1.5.5 ตรวจสอบชุดโครงสร้างของเหล็กหล่อและจำแนกประเภทของเหล็กหล่อ
- 1.5.6 หาปริมาณธาตุที่เป็นองค์ประกอบที่สำคัญในเหล็กหล่อ
- 1.5.7 ทดสอบสมบัติทางกล เช่น ความต้านทานแรงดึง ความต้านทานต่อแรงกระแทก และความแข็งตามมาตรฐานอุตสาหกรรม
- 1.5.8 วิเคราะห์ข้อมูล สรุป และรายงานผลการวิจัย

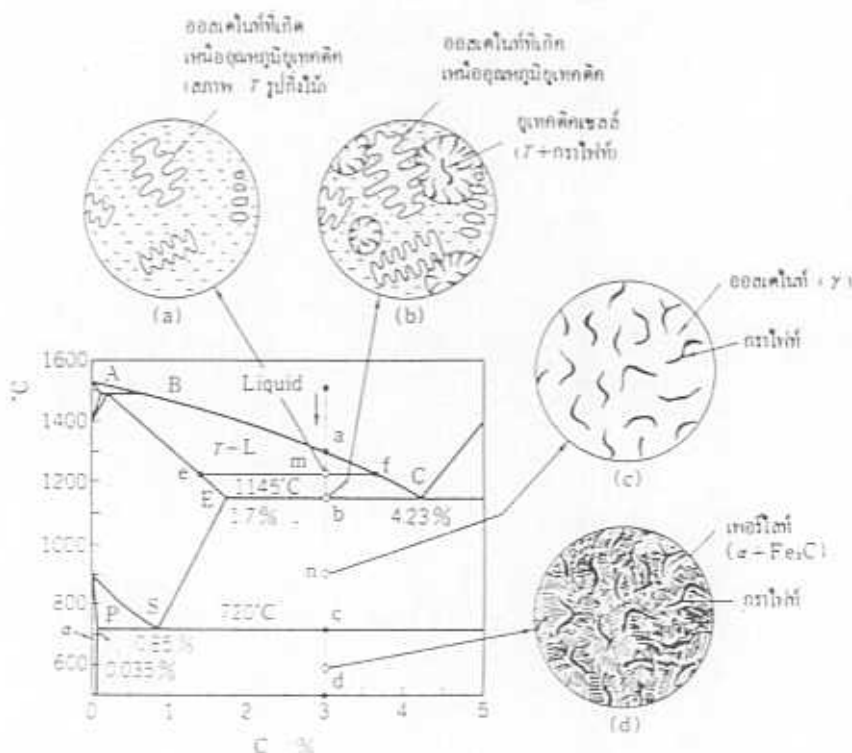
บทที่ 2

เหล็กหล่อ (Cast Iron)

เหล็กหล่อ หมายถึง เหล็กที่มีการบ่อนเป็นส่วนผสมมากกว่า 2.06 % และเป็นโลหะชนิดหนึ่งที่ใช้งานกันอย่างแพร่หลายในอุตสาหกรรมเนื่องจากราคาไม่แพง เหล็กหล่อส่วนใหญ่จะมีคุณสมบัติความด้านทน แรงดึงตัว และข้าดคุณสมบัติด้านความหนืดของน้ำ นอกจากนั้นยังมีอุดลักษณะกว้าง ไม่สามารถขึ้นรูปได้เรื่อง "ได้ การขึ้นรูปสามารถทำได้จากการหล่อรูปทรงเบื้องต้นและใช้กระบวนการวิธีทางกลมาทำต่อจนสำเร็จ และสามารถเดินทางคุณภาพอย่างพอสมควรไปในอัตราส่วนที่เหมาะสมเพื่อปรับปรุงคุณสมบัติของเหล็กหล่อให้เหมาะสมกับการนำไปใช้งาน

2.1 ดำเนินการเปลี่ยนแปลงในโครงสร้างของเหล็กหล่อจากของเหลวจนเป็นของแข็งที่อุณหภูมิห้อง

โครงสร้างของเหล็กหล่อที่เกิดขึ้นมีพัฒนาจากอัตราส่วนระหว่างเหล็กและคาร์บอน โดยพิจารณากราฟที่ 2.1 ที่มีการรับอน 3 %



รูปที่ 2.1 แผนภูมิการสมดุลธรรมระหว่างเหล็กและเหล็กคาร์บอน (จาก หล่อโลหะ , บริษัท สุรศบุตรและ เก็นบี จิบิชิว , KINMEI PRINTING CO.,LTD., 2517)

พิจารณาเหล็กหล่อที่มีการรับอน 3% การแข็งตัวเริ่มจากชุด a และเป็นสุดที่ชุด b ในช่วงนี้อุณหภูมิจะไม่คงที่ในขณะที่เกิดการแข็งตัว การแข็งตัวของเหล็กเมื่อถึงชุด m จะมีโครงสร้างดังรูป (a) ซึ่งมีผลึกรูปกลีบไม้ (Dendritic Crystals) รวมอยู่กับของเหลวเป็นสารละลายนองแข็ง γ (แแกมมา) ซึ่งมีสภาพะแทนได้ด้วยชุด c สารละลายนองแข็งนี้เรียกว่า ออสเตรไนท์ (Austenite) เนื่องจากลักษณะรูปกลีบไม้เกิดขึ้นก่อนผลึกชนิดอื่น จึงเรียกว่า พลิกไพร์มารี (Primary Crystals)

ที่ชุด c แสดงเป็นรูปชนิดของคราบอนของออสเตรไนท์ และชุด f แสดงเป็นรูปชนิดของคราบอนของของเหลว เมื่ออุณหภูมิลดลงถึงชุด b ชุด c จะแสดงเป็นรูปชนิดของคราบอนของออสเตรไนท์ และชุด c แสดงเป็นรูปชนิดของคราบอนของของเหลว เมื่ออุณหภูมิลดต่ำกว่าชุด b ของที่เหลืออยู่จะเริ่มแข็งตัว เมื่อผลึกที่เกิดจากการแข็งตัวของของเหลวที่เหลือจะเป็นกราไฟต์ ขึ้นตื้ก ๆ ปนกับออสเตรไนท์ ดังรูป (b) ซึ่งเรียกว่า พลิกบูห์เกิด และจะขยายใหญ่ขึ้นจนกระทั่งสัมผัสน้ำมีดบูห์เกิดที่อยู่ข้าง ๆ เมื่อเสร็จสิ้น การแข็งตัวในระหว่างการแข็งตัวอุณหภูมิจะคงที่ ประมาณ 1145°C รูป (c) เป็นโครงสร้าง ออสเตรไนท์ที่มีกราไฟต์กระจายอยู่ทั่วไป

ที่อุณหภูมิต่ำกว่า 720°C หลังจากที่ให้หายใจถอยเป็นของแข็งทั้งหมดสารละลายนองแข็ง γ จะแตกออกเป็นสองส่วนคือ สารละลายนองแข็ง α และ Fe_3C (Iron Carbide) สารละลายนองแข็ง α ที่เกิดจาก การแปรสภาพนี้เรียกว่า เฟอร์ไรท์ (Ferrite) และ Fe_3C เรียกว่า ซิเมนไทท์ (Cementite) ทั้งสองอย่างนี้เกิดเป็น ขั้นตันกันทำให้มีลักษณะเป็นถ่าน โครงสร้างที่เป็นถ่านนี้เรียกว่า เพอไรท์ (Pearlite) ถ้าอัตราการเย็นตัวด้านมาก ๆ สารละลายนองแข็งจะแปรสภาพเป็นสารละลายนองแข็ง α และกราไฟต์

ตั้งนั้นที่อุณหภูมินี้ของเหล็กหล่อที่ทางจะมีโครงสร้างเป็นเพอไรท์และมีกราไฟต์กระจายอยู่ทั่วไป หรืออาจจะเป็นเฟอร์ไรท์กับกราไฟต์ หรืออาจเป็นโครงสร้างที่มีลักษณะกล่อง ๆ ระหว่างทั้งสองอย่าง ค่าความแข็งของโครงสร้างแบบต่าง ๆ (โดยประมาณ) ดังแสดงในตารางที่ 2.1

ตารางที่ 2.1 ความแข็งของโครงสร้างแบบต่าง ๆ (โดยประมาณ)

ประเภทของโครงสร้าง	ความแข็งบริบูรณ์(HB)
Ferrite & Pearlite	165
Pearlite & Ferrite	200
Pearlite	215
Fine pearlite	240

(จาก Materials Science and Metallurgy , Herman W. Pollack , Prentice - Hall Internation Editions, P 165)

2.2 ชนิดของเหล็กหล่อ

เหล็กหล่อสามารถจำแนกโดยพิจารณาตามลักษณะการรวมตัวของคาร์บอนได้เป็น 4 กลุ่ม คือ

2.2.1 เหล็กหล่อสีขาว (White Cast Iron)

2.2.2 เหล็กหล่อสีเทา (Gray Cast Iron)

2.2.3 เหล็กหล่อเนื้อขาว (Ductile and Malleable Cast Iron)

2.2.4 เหล็กหล่อผสม หรือ เหล็กหล่อพิเศษ (Alloys or Special Cast Iron)

2.3 เหล็กหล่อสีเทา

งานวิจัยนี้จะกล่าวถึงเฉพาะเหล็กหล่อสีเทา เหล็กหลอนิคินีมีส่วนผสมของการรับอนระห่ำกว่า 2.5 ถึง 4 % ซึ่งการรับอนแยกตัวออกเป็นกราไฟต์แทรกอยู่ในเนื้อเหล็กขณะที่เย็นด้วยจากสภาพหลอมเหลวจนกระทั่งแข็งตัว ในเหล็กหล่อสีเทานี้มีชาตุที่เป็นองค์ประกอบที่สำคัญคือ การรับอน ชิลิกอน แมงกานีส ฟอสฟอรัส และซัลเฟอร์ ซึ่งชาตุเหล่านี้จะมีผลต่อคุณสมบัติของเหล็กหล่อ ลักษณะโครงสร้างพื้นฐานของเหล็กหลอนิคินี ประกอบด้วย กราไฟต์ ชิเมนไทด์ และเฟอร์ไรท์ โดยกราไฟต์จะอยู่ในรูปการรับอนอิสระกระจายอยู่ เรียกว่า เกร์คกราไฟต์ (Graphite Flank) ที่ร่องจากมีโครงสร้างที่ล้อมรอบผลึกของกราไฟต์ที่แตกต่างกัน ซึ่งทำให้คุณสมบัติความด้านงานแรงดึงแตกต่างกันออกไป ซึ่งใช้พิจารณากำหนดเกรดค่าต่าง ๆ ของเหล็กหล่อ รูปร่างของกราไฟต์ที่ปรากฏในเหล็กหล่อสีเทาสามารถจำแนกออกได้ 5 ประเภท ดังรูปที่ 2.3.1 คือ

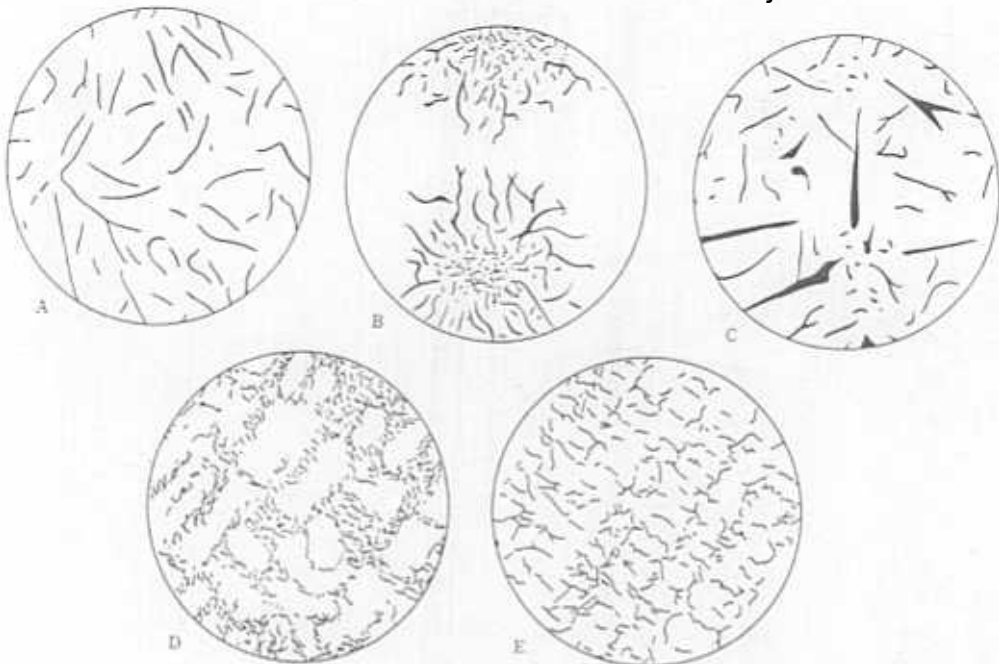
2.3.1 ประเภท A จะกระจายอยู่ข้างหน้าเสมอ และเรียงตัวไม่เป็นระเบียบ (Random Orientation) โครงสร้างส่วนใหญ่เป็นพิรอลไอกท์และกราไฟต์มีขนาดเล็ก ลักษณะของกราไฟต์ที่ได้จะเป็นเต็น แต่ความจริงแล้วจะเป็นแผ่นมีลักษณะโค้งไปมาทำให้มีความแข็งแรงสูง ลักษณะโค้งของกราไฟต์เนื่องจากอสเตรไนท์ที่มีรูปร่างเป็นกิ่งไม้ (Dendritic) ตกผนังก่อนอุณหภูมน้ำเย็น หรือเรียกว่าผลึกไฟร์มาร์

2.3.2 ประเภท B ลักษณะของกราไฟต์มีขนาดเล็กเข่นเดียวกับประเภท A แต่จะอยู่เป็นกลุ่มนิ่วกราไฟต์เรียงกระชากของความแนวรัศมีคล้ายดอกกุหลาบ (Rosette Grouping) และเรียงตัวไม่เป็นระเบียบ กราไฟต์ประเภทนี้ประกอบด้วยก้อนยูเทกติก (Eutectic Cells) โดยกราไฟต์ขนาดเล็กจะอยู่ตรงกลางขณะเกิดการเปลี่ยนสภาพแบบยูเทกติก และกราไฟต์ขนาดใหญ่จะอยู่รอบความแนวรัศมี กราไฟต์ประเภทนี้จะเกิดตรงบริเวณใจกลางของชิ้นงานหล่อที่บางหรือเหล็กหล่อที่ทำให้ผิวเย็นเร้า (Chilled Cast Iron) ขนาดของกราไฟต์ยูเทกติกนั้นขึ้นอยู่กับอัตราตัวแปรผสมและอัตราการเย็นในบางกรณีจะไม่พบกราไฟต์ยูเทกติก จะมีแต่เฉพาะกราไฟต์ที่เกิดความแนวรัศมี

2.3.3 ประเภท C ลักษณะของกราไฟต์มีทั้งขนาดใหญ่ (Primary or Kish Graphite) และขนาดเล็ก (Eutectic) เกิดสลับกัน การเรียงตัวไม่เป็นระเบียบ โครงสร้างประเภทนี้เกิดในเหล็กหล่อที่มีเปอร์เซ็นต์คาร์บอนและซิทิกอนสูง คือค่า Carbon Equivalent มากกว่า 4.3 % เป็นเหล็กหล่อที่มีส่วนผสมไออกไซเดอร์ยูเทกติก อัตราการเย็นด้วยในกรณีที่ช้าทำให้มีความด้านทานแรงดึงดีต่ำ

2.3.4 ประเภท D ลักษณะของกราไฟต์จะเป็นเกร็จเล็ก ๆ เข่นเดียวกับกราไฟต์ยูเทกติก แต่จะเกิดอยู่ด้านขอบกรน การเรียงตัวจะไม่เป็นระเบียบ โครงสร้างประเภทนี้จะพบในเหล็กที่มีอัตราการเย็นตัวสูงและเกิดกับเหล็กหล่อที่มีตัวแปรผสมเป็นไออกไซเดอร์ยูเทกติก คือค่า Carbon Equivalent ต่ำ ถ้าปล่อยให้เหล็กเย็นช้าจะไม่เกิดกราไฟต์ประเภทนี้

2.3.5 ประเภท E จะมีลักษณะเร้นเดียวกับประเภท D แต่จะแยกต่างกันที่ประเภท E การเรียงตัวของกราไฟต์มีระบบอยู่น้ำ (Preferred Orientation) ทั้งประเภท D และ E ลักษณะขึ้นในเหล็กหล่อจะทำให้เหล็กมีประสิทธิภาพและแตกหักได้ยาก



รูปที่ 2.3.1 ลักษณะการกระจายตัวของกราไฟต์แบบต่างๆ ในเหล็กหล่อสีเทา (จาก หล่อโลหะ , บริษัท สูตรบุตร และ เก็นชิ จิชิอิว่า , KINMEI PRINTING CO.,LTD,2517.)

2.4 คุณสมบัติของเหล็กหล่อสีเทา

2.4.1 คุณสมบัติทางกลของเหล็กหล่อสีเทา

- ความด้านทานแรงดึงของเหล็กหล่อสีเทาขึ้นอยู่กับโครงสร้างหลักและรูปร่างของกราไฟต์ รายละเอียดอยู่ในภาคผนวก ค.
- การยืดตัวก่อนขาดของเหล็กหล่อสีเทาประมาณ 0.3 - 1.2 %
- ความแข็งตัวของเหล็กหล่อสีเทานิ่วค่า 130 - 270 HB
- ความด้านทานแรงอัด จะมีค่าเท่ากับ 3 - 5 เท่าของความด้านทานแรงดึง
- ความด้านทานต่อแรงกระแทกของเหล็กหล่อสีเทาค่อนข้างดี ด้วยปริมาณการรับอน จิลิกอน และฟอสฟอรัสสูง ก็จะทำให้ความด้านทานต่อแรงกระแทกดี

2.4.2 คุณสมบัติทางกายภาพและเคมีของเหล็กหล่อสีเทา

- ความถ่วงจำเพาะที่อุณหภูมิห้องประมาณ 7.1 - 7.3 ในสภาพน้ำเหล็กประมาณ 6.75 - 6.95
- สัมประสิทธิ์การขยายตัวทางความร้อน อยู่ระหว่าง 11×10^{-6} ถึง $14 \times 10^{-6} / ^\circ C$
- ในปริมาณกราไฟต์ที่เท่ากันกราไฟต์หยานจะนำไฟฟ้าได้มากกว่ากราไฟต์ละเอียด
- ความสามารถด้านทานการกัดกร่อนจากน้ำไปน้อย คือ ซีเมนไคต์ เพอไ/do/ และเฟอร์ไรท์ ตามต่อไปนี้

5. ส่วนผสมต่างๆ ในเหล็กหล่อสีเทา มีดังนี้
- | | |
|--------------------------|---------------|
| การรับอน ในรูปของกราไฟต์ | 3 - 3.5 % |
| ชิลิกอน มีอยู่ประมาณ | 1 - 2.75 % |
| แมงกานิส มีอยู่ประมาณ | 0.4 - 1 % |
| ฟอสฟอรัส มีประมาณ | 0.15 - 1 % |
| ซัลเฟอร์ มีประมาณ | 0.02 - 0.15 % |

หมายเหตุ : ถูกห้ามบดข่องเหล็กหล่อสีเทา ตามมาตรฐานต่าง ๆ ที่รายละเอียดอยู่ใน ภาคผนวก ค.

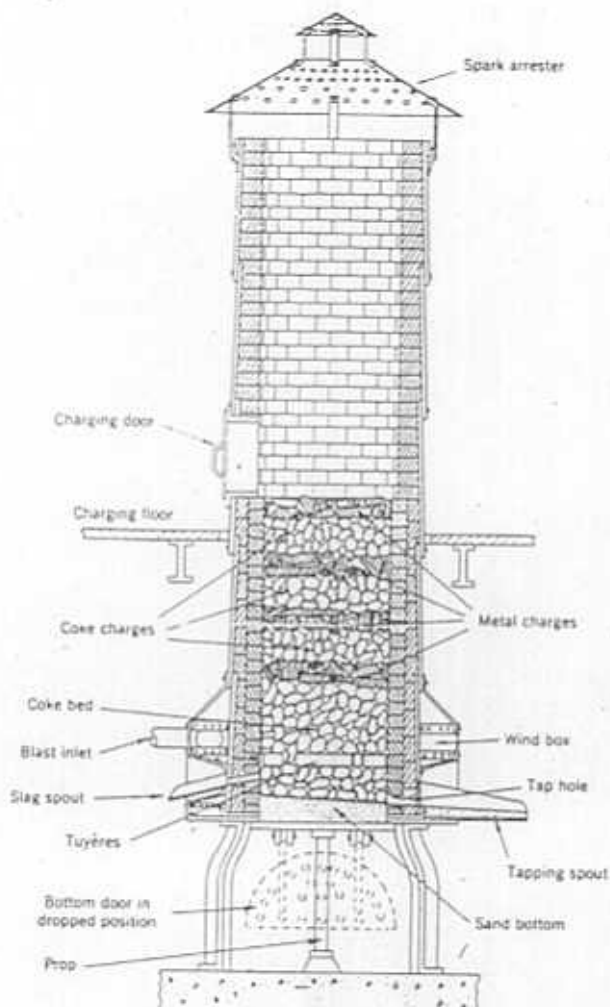
2.5 การหลอมเหล็กหล่อ

2.5.1 เตาคิวปดา (Cupola)

เตาคิวปดาเป็นเตาที่ใช้กันมากในอุตสาหกรรมการหล่อ ลักษณะของเตาประกอบด้วยปลอกเหล็ก เหนินชารูปทรงกระบอกกว้างในแนวนั้น ภายในกรุด้วยอิฐทรายไฟ叨ะรอง เมื่อใส่ร้อนดูดินลงไปทางช่องบรรจุ (Charging Door) แล้วปิดล็อกเข้าไปเพื่อช่วยในการอุ่นให้มีทางรูดม (Tuyeres) ทำให้ไกเหลหลอมละลาย น้ำเหล็กและขี้ตะกรัน (Slag) จะไหลออกจากเตาทางรูชา (Tap Hole) ตั้งแสดงในรูปที่ 2.5 ขนาดของเตาโดยทั่วไปมีความสูงตั้งแต่ 12 - 24 เมตร ขนาดเส้นผ่าศูนย์กลางภาชนะ 0.6 - 3.0 เมตร ขนาดเส้นผ่าศูนย์กลางภายใน 0.4 - 2.5 เมตร ปริมาณของเหล็กหล่อที่หลอมได้ประมาณ 1 - 35 ตัน/ชั่วโมง

2.5.2 วัสดุดินที่ใช้ในการหล่อโดยเตาคิวปดา

- เหล็กพิก (Pig Iron)
- เศษเหล็กหนึ่ว (Steel Scrap)
- เศษเหล็กหล่อที่ใช้แล้ว (Return Scrap)
- หินปูน (Limestone) ซึ่งทำหน้าที่เป็นฟลิกซ์ (Flux)
- ถ่านโภค



รูปที่ 2.5 รูป่างของคิวโปลา
(จาก , วัสดุช่าง, คอกชูป ทุขมจก และคณะ , พิพักษ์อักษร , กรุงเทพฯ 2534)

2.5.3 การทำงานของคิวโปลา

เมื่อเริ่มติดเคารั้งแรกจะใช้ฟินเป็นเชื้อเพลิงก่อไฟที่กันเค้าแล้วจึงเติมถ่านไก้กลงไป ในขั้นตอนนี้ รูดูน รูเจาะน้ำเหล็ก รูเจาะขั้นคงรัตน จะเปิดอยู่ ถ้าด่านไก้ก่ออยู่สูงเกินไปจะทำให้น้ำเหล็กไหลออกช้าและน้ำเหล็กจะมีซักเพอร์มาก ถ้าด่านไก้ก่ออยู่ต่ำเกินไปจะทำให้สูญเสียชิลิกอนและแมงกานิช งานน้ำเหล็กมากเกินไป เมื่อเติมถ่านไก้ก่อนได้ปริมาณพอเหมาะสมแล้วจึงเป่าลมเข้าเค้า งานน้ำเหล็กเติมวัตถุดับต่างๆ ลงไปจนเต็มถึงระดับ ช่องเติมวัตถุดับแล้วจึงปิดรูเจาะน้ำเหล็ก รูเจาะขั้นคงรัตน แล้วเพิ่มลมเป่าเข้าเค้าจนเหล็กหลอมละลาย หลังจาก นั้นน้ำเหล็กก็ไหลลงสู่ส่วนล่างของเค้า จำนวนวัตถุดับในเคาก็จะต้องมีการเติมวัตถุดับลงไปอย่างต่อเนื่องใน เค้าให้ถึงระดับช่องเติมวัตถุ ตรวจคุณภาพน้ำเหล็กจากช่องมอง ข้างเค้า เมื่อได้น้ำเหล็กพอประมาณ ให้เจาะเอาขั้นคงรัตนออกก่อน จึงจะสามารถนำน้ำเหล็กออกโดยยานบ้านารองเพื่อ นำน้ำเหล็กที่ได้ไปเทลงในแบบต่อไป

บทที่ 3

วัสดุ อุปกรณ์ เครื่องมือ และวิธีดำเนินการวิจัย

3.1 วัสดุ อุปกรณ์ และเครื่องมือที่ใช้ในการวิจัย

3.1.1 เวอร์เนียร์คลิปเปอร์ ใช้สำหรับวัดขนาดของชิ้นตัวอย่างที่หล่อจากแบบทราย ตามมาตรฐานที่กำหนดก่อนน้ำไปตรวจสอบอุลติโครงสร้างและแทนบดีทางกลต่อไป

3.1.2 เครื่องตัดชิ้นตัวอย่าง ดังแสดงในรูปที่ 3.1.1

3.1.3 เครื่องทดสอบแรงดึง ดังแสดงในรูปที่ 3.1.2

3.1.4 เครื่องทดสอบแรงกระแทก ดังแสดงในรูปที่ 3.1.3

3.1.5 เครื่องทดสอบความแข็ง ดังแสดงในรูปที่ 3.1.4

3.1.6 เครื่องเครื่ยมและตรวจสอบอุลติโครงสร้างของเหล็กหล่อ ดังแสดงในรูปที่ 3.1.5

และ 3.1.6

3.2 วิธีดำเนินการวิจัย

3.2.1 รวบรวมข้อมูลและศึกษาประเภทของเตาที่ใช้หล่อ ผลิตจากวัสดุคุณที่ใช้สำหรับโรงหล่อในจังหวัดอุบลราชธานี

3.2.2 เก็บตัวอย่างเหล็กหล่อโดยนำเข้าหนึ่งหนึ่งกิโลกรัมในแบบหล่อทรายที่สร้างขึ้นตามมาตรฐาน มอก. 536 - 2527 เหล็กหล่อสีเทา เป็นชิ้นทดสอบรูปทรงกรวย nokที่มีขนาดเส้นผ่าศูนย์กลาง 30 ± 1.5 มิลลิเมตร มีความยาวไม่น้อยกว่า 230 มิลลิเมตร ลักษณะการเทน้ำเหล็กและแบบหล่อทราย ดังแสดงในรูปที่ 3.2.1 และ 3.2.2 เมื่อปั่นอยู่ให้เข็นตัวลงและนำเข้าชิ้นตัวอย่างออกจากแบบ จะได้ชิ้นตัวอย่างที่มีลักษณะดังรูปที่ 3.2.3

3.2.3 วัดขนาดของชิ้นตัวอย่าง เพื่อให้ได้ขนาดตามมาตรฐานที่กำหนดในข้อ 3.2.2

3.2.4 วิเคราะห์ชนิดของเหล็กหล่อตามมาตรฐานผลิตภัณฑ์อุตสาหกรรม

3.2.5 หาปริมาณของธาตุในเหล็กหล่อด้วย Spark Optical Emission Spectrometer ดังแสดงในรูปที่ 3.2.4

3.2.6 เครื่ยมชิ้นตัวอย่างด้วยเครื่องถึง เพื่อทดสอบแรงดึง ตามมาตรฐาน มอก. 244 เล่ม ที่ 4 ถึง 7 - 2525 ดังแสดงในรูปที่ 3.2.5 แล้วนำชิ้นตัวอย่างที่ได้ไปทดสอบความด้านทานแรงดึงโดยเครื่องทดสอบแรงดึง

3.2.7 เครื่ยมชิ้นตัวอย่างเพื่อทดสอบแรงกระแทก ตามมาตรฐาน มอก. 244 เล่ม 8 - 2522 ดังแสดงในรูปที่ 3.2.6 แล้วนำชิ้นตัวอย่างไปทดสอบ

3.2.8 เตรียมชิ้นตัวอย่างเพื่อทดสอบความแข็ง ตามมาตรฐาน นบก. 244 เล่ม 1 ถึง 3 - 2520 ดัง
แสดงในรูปที่ 3.2.7 แล้วนำชิ้นตัวอย่างที่ได้ไปทดสอบ

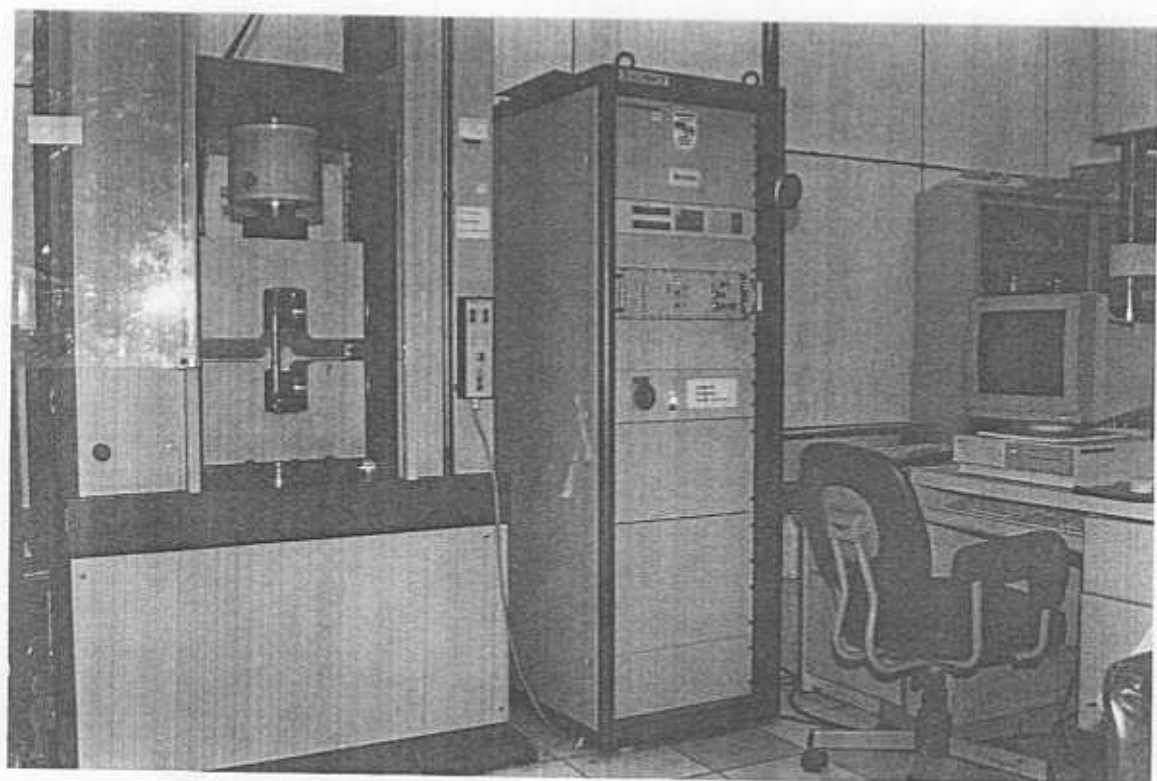
3.2.9 เตรียมชิ้นตัวอย่างเพื่อตรวจสอบจุลไครองทั่วไปด้วยกล้องจุลทรรศน์ กัดกรดด้วย 3% Nitai ดัง
แสดงในรูปที่ 3.2.8

3.2.10 รวมรวมข้อมูลที่ได้ สรุปผลและเขียนรายงาน

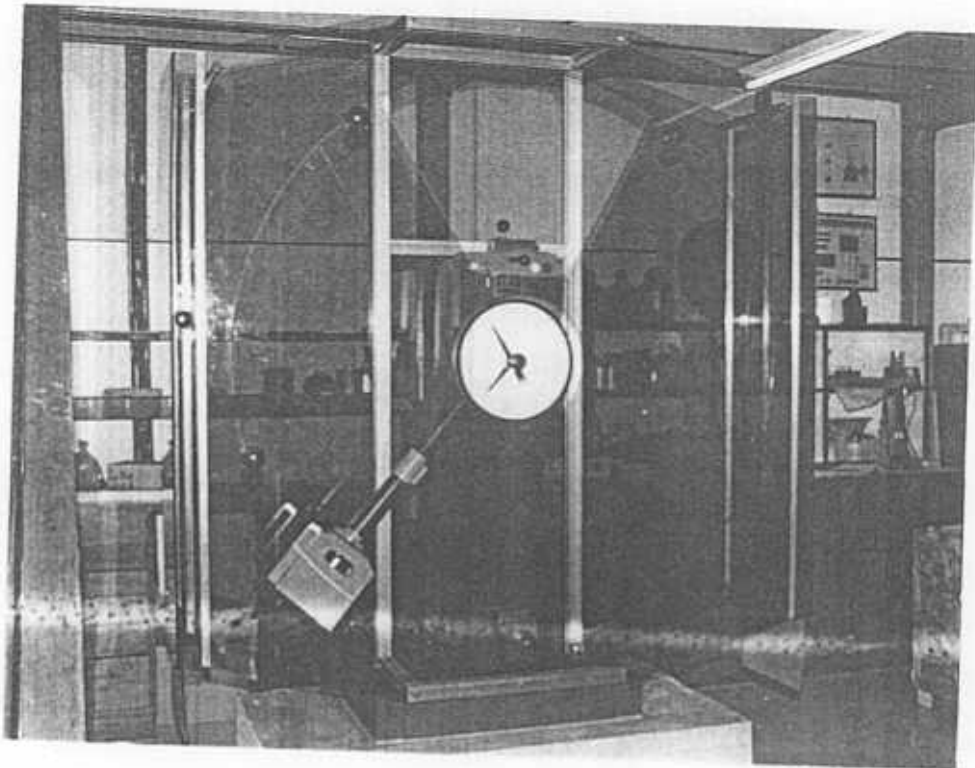
หมายเหตุ : จากการตรวจสอบและข้อมูลที่ได้จาก ทำเนียบโรงงานอุดสาหกรรมจังหวัด
อุบลราชธานี โดยสำนักงานอุดสาหกรรม กระทรวงอุดสาหกรรม ปรากฏว่ามีโรงงานอุดสาหกรรมเกี่ยว
กับการผลิตผ้าในมาเลเซียร่องสีขาว คันไดเหล็ก เพียง 1 โรงงานเท่านั้น รายละเอียดของโรงงานอยู่ในภาค
พนวก 4.



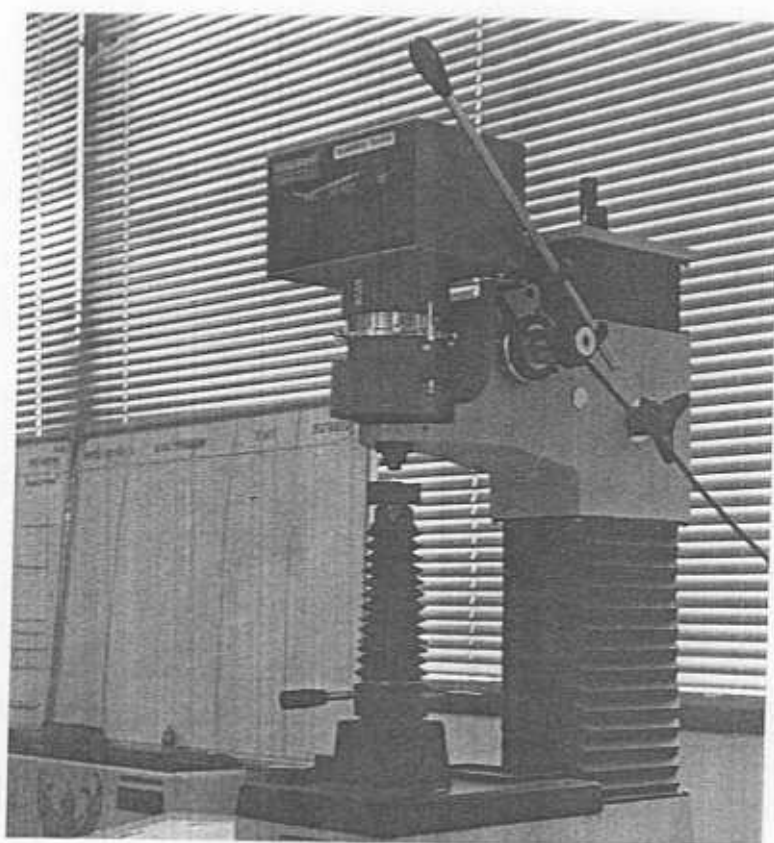
รูปที่ 3.1.1 เครื่องตัดชิ้นด้วยบ่า



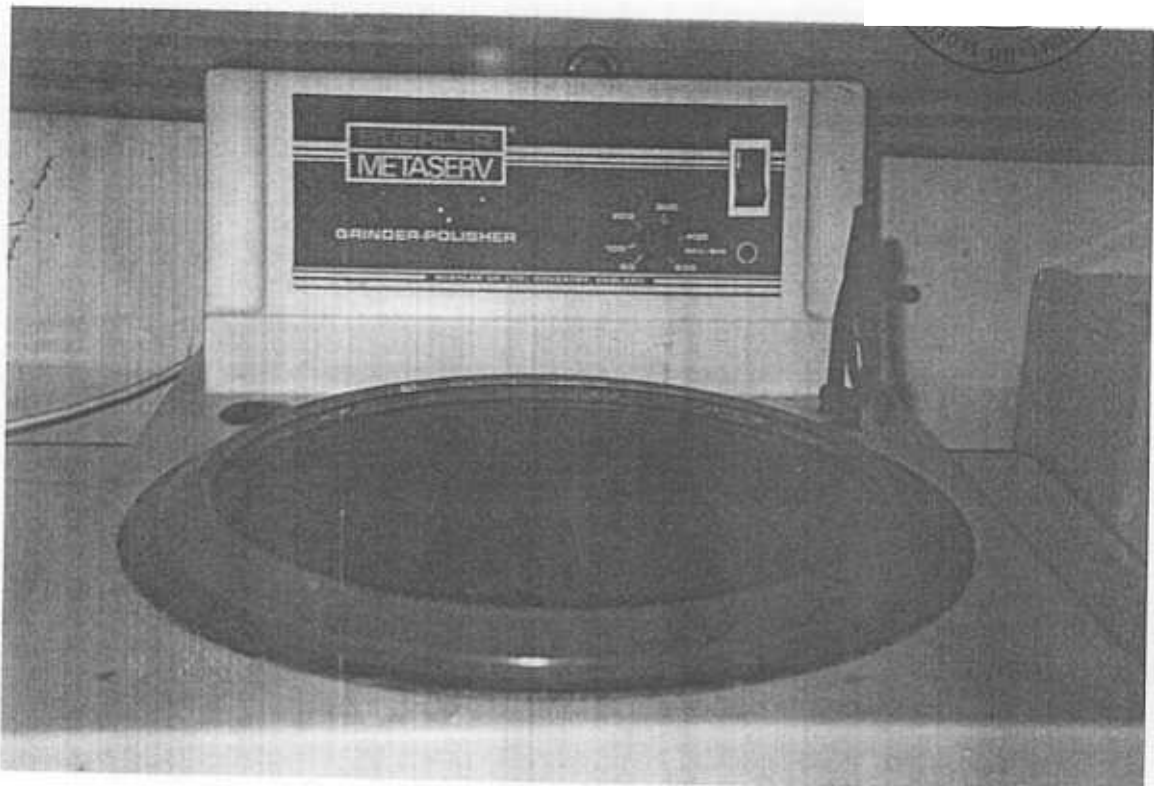
รูปที่ 3.1.2 เครื่องภาคส่วนแรงดึง



รูปที่ 3.1.3 เครื่องทดสอบแรงกระแทก



รูปที่ 3.1.4 เครื่องทดสอบความแข็ง



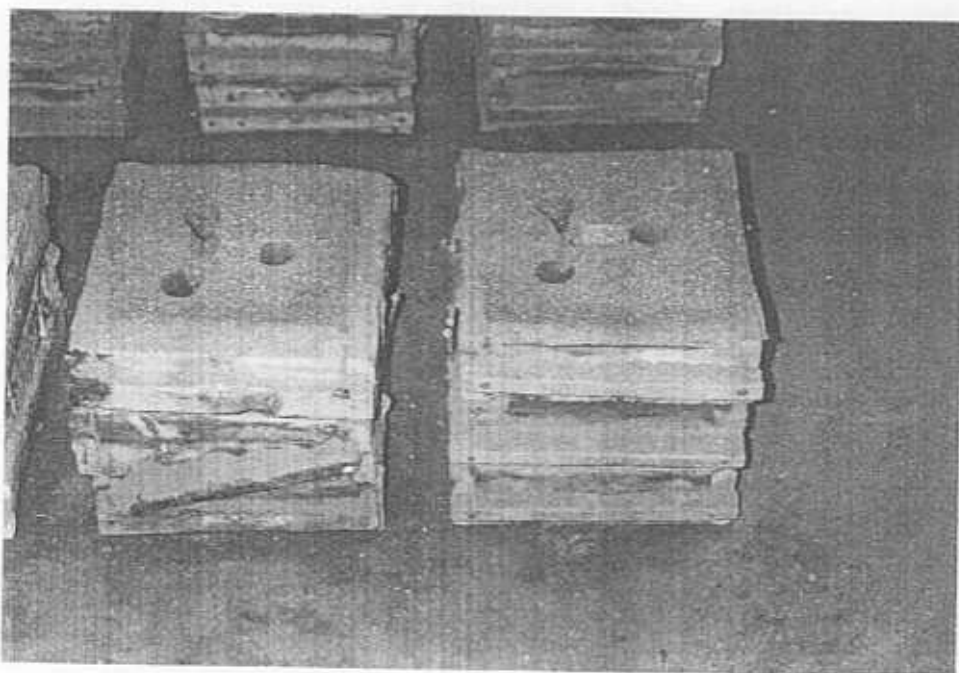
รูปที่ 3.1.5 เครื่องขัดผิวชิ้นงาน



รูปที่ 3.1.6 เครื่องตรวจสอบอุลตราซาวนด์ร่างเหล็ก



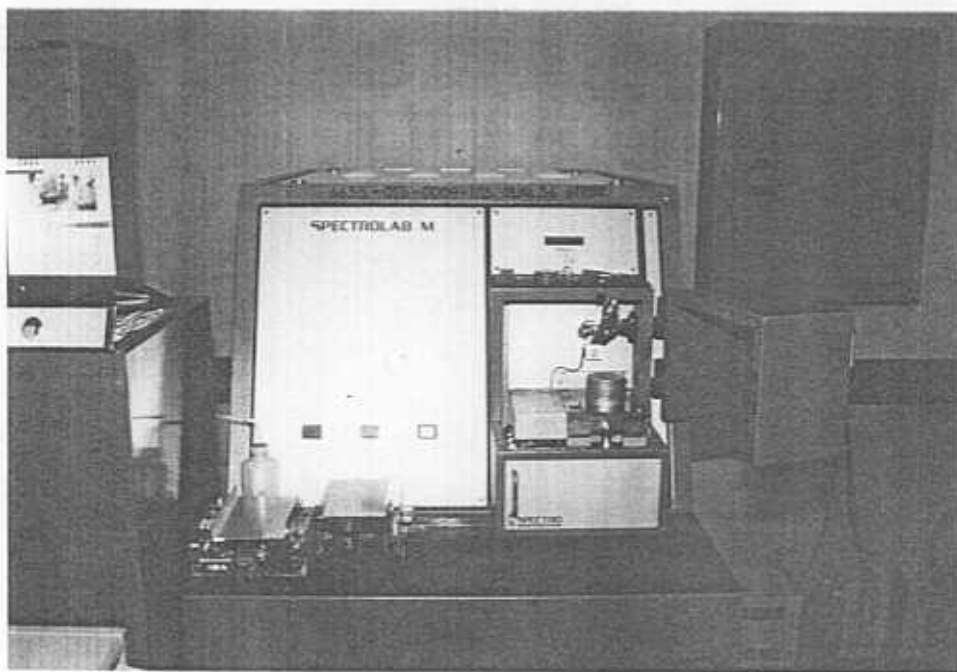
รูปที่ 3.2.1 ลักษณะการเทน้ำเหล็ก



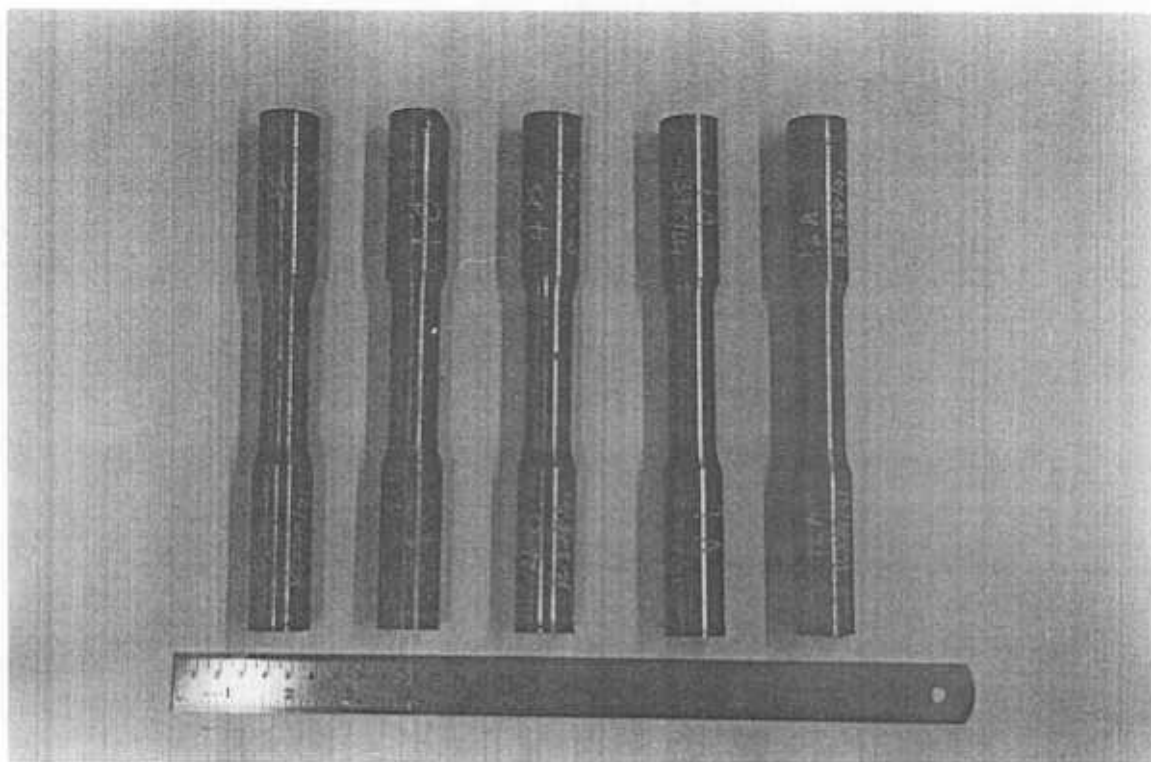
รูปที่ 3.2.2 แบบหล่อทราย



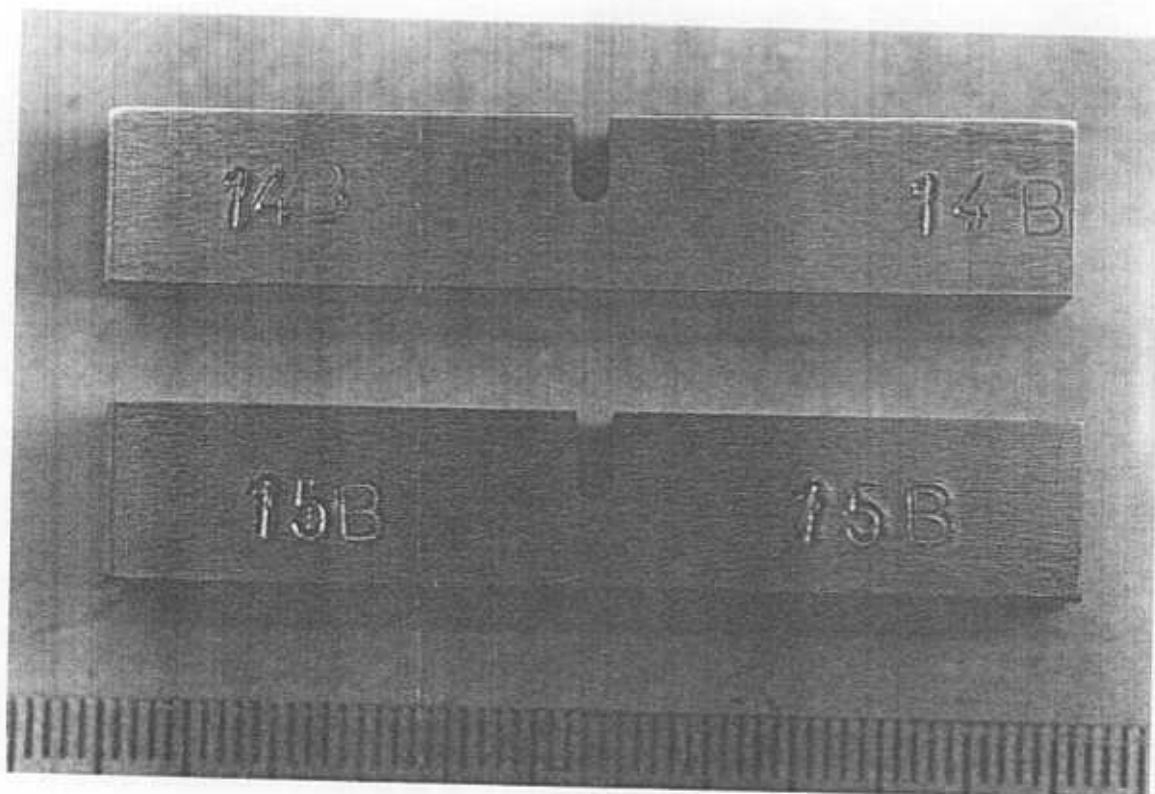
รูปที่ 3.2.3 ชิ้นตัวอย่างที่ได้มีอนล่อเพรช



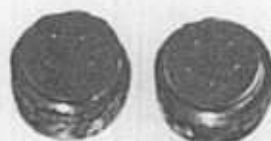
รูปที่ 3.2.4 เครื่อง Spark Optical Emission Spectrometer



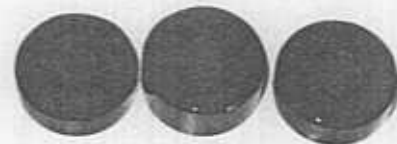
รูปที่ 3.2.5 ขนาดของชิ้นตัวอย่างเพื่อทดสอบแรงดึง



รูปที่ 3.2.6 ขนาดของชิ้นตัวอย่างเพื่อทดสอบแรงกระแทก



รูปที่ 3.2.7 ชิ้นด้วอย่างเพื่อกดสอนความเร็ว



รูปที่ 3.2.8 ชิ้นด้วอย่างเพื่อตรวจสอบจุลไครงสร้าง

บทที่ 4ผลการตรวจสอบจุลิกรงสร้างและสมบัติทางกลของเหล็กหล่อ4.1 ประเภทของเตาที่ใช้หล่อและข้อมูลต่างๆ ในการหล่อ

การหลอมเหล็กหล่อโดยใช้คิวไปโล (Cupola) ที่หล่อขึ้นด้วยหินด้วยข้อมูลการหล่อเหล็ก น้ำร้าย ละเอียดดังนี้

วัสดุดินที่ใช้ในแม่กระรังที่เทลงในเตา

เศษเหล็กหล่อ	ประมาณ	115	กิโลกรัม
เหล็กพิค	ประมาณ	130	กิโลกรัม
ถ่านไถก	ประมาณ	38	กิโลกรัม
หิน	ประมาณ	1	กิโลกรัม

ดังนั้น อัตราส่วนของวัสดุดินที่ใช้ก็อ

เหล็ก : ถ่านไถก : หิน = 6 : 1 : 1

ข้อมูลเวลาในการหล่อเหล็ก ดังแสดงในตารางที่ 4.1.1 และ 4.1.2

ตารางที่ 4.1.1 ข้อมูลในการหล่อเหล็ก

เวลา	ปริมาณวัสดุติดที่ใช้ (กิโลกรัม)			
	เศษเหล็กหล่อ	เหล็กพิค	ถ่านไฟฟ้า	น้ำ
9.00 น.	115	130	38	1
9.20 น.	115	130	38	1
9.30 น.	115	130	38	1
9.40 น.	115	130	38	1
9.50 น.	115	130	38	1
10.00 น.	115	130	38	1
10.10 น.	115	130	38	1
10.20 น.	115	130	38	1
10.30 น.	115	130	38	1
10.40 น.	115	130	38	1
10.50 น.	115	130	38	1
11.00 น.	115	130	38	1
11.20 น.	115	130	38	1

ตารางที่ 4.1.2 ข้อมูลการเทน้ำเหล็กลงในแบบหล่อ

ครั้งที่	เวลาในการเทน้ำเหล็ก
1	9.35 นาที
2	9.45 นาที
3	10.05 นาที
4	10.15 นาที
5	10.35 นาที
6	10.45 นาที
7	11.05 นาที
8	11.25 นาที
9	11.40 นาที
10	11.55 นาที
11	12.10 นาที
12	12.25 นาที
13	12.40 นาที

4.2 วิเคราะห์ประเภทของเหล็กหล่อ

น้ำเหล็กหล่อที่ได้มาวิเคราะห์ชนิด ปรากฏว่าเหล็กหล่อที่ได้จากโรงเป็นเหล็กหล่อสีเทา โดยเปรียบเทียบจากมาตรฐาน มอก. 536 - 2537 ดังแสดงในรูปที่ 2.3.1 , 4.7.1 , 4.7.2 , 4.7.4 , 4.7.5 , 4.7.7 , 4.7.9 , 4.7.10 , 4.7.12 , 4.7.13 , 4.7.15 , 4.7.16 , 4.7.18 , 4.7.19

4.3 หาปริมาณของธาตุในเหล็กหล่อ

เมื่อจะจากเหล็กหล่อเป็นโลหะผสมมีธาตุที่เป็นองค์ประกอบสำคัญ ซึ่งมีผลต่อสมบัติทางกล การหาปริมาณของธาตุในเหล็กหล่อด้วย Spark Optical Emission Spectrometer ดังแสดงในตารางที่ 4.3.1

ตารางที่ 4.3.1 ปริมาณของธาตุในเหล็กหล่อ

ชั้นตัวอย่างที่	ปริมาณธาตุ (%)				
	C	Si	Mn	P	S
1	3.25	3.24	0.306	0.164	0.073
2	3.30	3.29	0.307	0.141	0.065
3	3.29	3.29	0.284	0.194	0.067
4	3.23	3.33	0.307	0.165	0.070
5	3.28	3.35	0.306	0.160	0.073
6	3.08	3.14	0.261	0.165	0.086
7	3.15	3.47	0.288	0.120	0.076
8	3.15	3.33	0.347	0.132	0.059
9	3.10	3.25	0.338	0.156	0.065
ค่าเฉลี่ย	3.20	3.30	0.305	0.155	0.070

4.4 การทดสอบแรงดึง

ผลการทดสอบความต้านทานแรงดึงของเหล็กหล่อสีเทาตามมาตรฐาน บอ. 244 เล่มที่ 4 ถึง 7-2525 ดังแสดงในตารางที่ 4.4.1

ตารางที่ 4.4.1 ผลการทดสอบอย่างต่อ

หัวอย่าง ที่	เส้นผ่านศูนย์กลาง (mm)	พื้นที่ภาคตัดขวาง (mm ²)	แรงดึงที่ความตื้น คราก 0.2% (N)	แรงตึงสูงสุด (N)	ความต้านทานครากที่ 0.2 % (N/mm ²)	ความต้านแรงตึง สูงสุด (N/mm ²)	การอึดอัด (%)
1	19.80	307.91	-	50,220	-	163	0.40
2	19.80	307.91	-	58,300	-	189	0.60
3	20.60	333.29	52,980	63,850	159	192	0.60
4	20.00	314.16	-	45,700	-	145	0.50
5	19.80	307.91	-	50,460	-	164	0.70
6	20.00	314.16	-	50,620	-	161	0.80
7	19.90	311.03	-	55,040	-	177	0.60
8	20.00	314.16	-	56,760	-	181	0.70
9	19.90	311.03	-	54,620	-	176	0.60
10	20.65	334.91	63,475	67,550	190	202	0.50
11	19.80	307.91	58,777	62,420	191	203	0.70
12	19.90	311.03	42,543	50,080	137	161	0.80
13	19.90	311.03	-	48,320	-	155	0.80
14	19.90	311.03	46,328	46,380	149	149	0.80
15	20.00	314.16	45,167	46,100	144	147	0.80
16	19.90	311.03	34,546	40,880	-	111	0.60
17	19.90	311.03	36,073	43,980	116	141	0.70
18	19.90	311.03	-	34,660	-	111	0.50
19	19.80	307.91	46,753	46,780	152	152	0.60
20	19.80	307.91	44,678	46,360	145	151	0.60
21	19.90	311.03	47,485	48,180	153	155	0.80
22	19.80	307.91	47,224	51,320	153	167	0.60
23	19.80	307.91	49,438	50,100	161	163	0.60
24	20.00	314.16	43,703	48,140	139	153	0.80
25	20.00	314.16	18,067	38,720	58	123	0.60
26	19.80	307.91	44,250	48,580	144	158	0.50
27	19.90	311.03	44,067	47,320	142	152	0.80

ตารางที่ 4.4.1 (ต่อ)

พื้นที่ ที่	เส้นผ่าศูนย์กลาง (mm)	พื้นที่ภาคตัดขวาง (mm ²)	แรงดึงที่ความเห็น คร่าวก 0.2% (N)	แรงดึงสูงสุด (N)	ความเห็นครากที่ 0.2 % (N/mm ²)	ความต้านแรงดึง ^a สูงสุด (N/mm ²)	การอีด็อกว (%)
28	19.90	311.03	48,462	54,040	156	174	0.90
29	19.80	307.91	48,585	53,280	158	173	0.70
30	19.80	307.91	48,034	54,020	156	175	0.80
31	19.80	307.91	20,140	32,940	65	107	0.80
32	20.00	314.16	45,104	47,300	144	151	0.60
33	19.80	307.91	44,555	47,040	145	153	0.60
34	19.80	307.91	45,592	49,780	148	162	0.90
35	19.80	307.91	45,959	50,620	149	164	0.80
36	19.80	307.91	45,349	49,320	147	160	0.90
37	20.00	314.16	53,649	59,940	171	191	0.70
38	19.90	311.03	51,696	51,920	166	167	1.20
39	19.90	311.03	52,673	53,740	169	173	0.90
40	19.90	311.03	68,454	68,550	220	220	0.60
41	19.90	311.03	57,068	60,520	183	195	0.60
42	20.00	314.16	53,712	58,580	171	186	0.60
43	20.00	314.16	60,912	68,850	194	219	0.70
44	19.90	311.03	55,360	60,220	178	194	0.60
45	19.90	311.03	55,665	61,340	179	197	0.60
46	19.90	311.03	65,857	73,850	212	237	0.80
47	19.90	311.03	57,618	64,300	185	207	0.80
48	20.00	314.16	56,945	61,820	181	197	0.70
49	19.90	311.03	50,356	55,140	162	177	0.60
50	19.90	311.03	55,360	63,750	178	205	0.60
51	19.90	311.03	41,992	44,380	135	143	0.60
52	19.90	311.03	49,205	49,220	144	158	0.60
53	20.10	317.31	43,395	43,340	137	137	0.50

4.5 การทดสอบแรงกระแทก

ผลการทดสอบความต้านทานแรงกระแทกของเหล็กหัวล้อเพื่อเท้า ตามมาตรฐาน มอก. 244 เล่ม 8 - 2522 คังเดคในตารางที่ 4.5.1

ตารางที่ 4.5.1 ผลการทดสอบแรงกระแทก

ขั้นดับอย่าง	ความสูง D (มม.)	ความสูงของร่อง มาก N (มม.)	ความกว้าง W (มม.)	ค่าผลัจงาน (ชุด)
1	10.00	5.00	10.00	2
2	10.00	5.00	10.00	2
3	10.00	5.00	10.00	2
4	10.00	5.00	10.00	2
5	10.00	4.98	10.00	2
6	10.00	4.98	10.00	2
7	10.00	5.00	10.00	2
8	10.00	5.00	10.00	2
9	10.00	5.00	10.00	2
10	10.00	5.00	10.00	2
11	10.00	5.00	10.00	2
12	10.00	5.00	10.00	2
13	10.00	5.00 -	10.00	2
14	10.00	5.00	10.00	2

ค่าผลัจงานเฉลี่ย = 2 ชุด

หมายเหตุ : จีดจำกัดของเครื่องมือ : 300 ชุด

รูปแบบของชิ้นงาน : ร่องนาคู (U)

อุณหภูมิที่ทดสอบ : ทดสอบที่อุณหภูมิห้อง (25°C)

4.6 ภารกิจทดสอบความแข็ง

ผลการทดสอบความแข็งของเหล็กหล่อสีเทา ตามมาตรฐาน มอก.244 เล่ม 1 ถึง 3 - 2522
โดยการทดสอบในหน่วยค่าความแข็งบิเนสต์จากเหล็กหล่อสีเทา 2 ชุด ตัวแสดงในตารางที่ 4.6.1
เบอร์ 4.6.2

ตารางที่ 4.6.1 ผลการทดสอบความแข็งจากเหล็กหล่อสีเทา ชุดที่ 1

ชั้นตัวอย่าง	ค่าความแข็ง (HB 2.5/187.5)			ค่าเฉลี่ย
	1	2	3	
1	248	252	251	250.33
2	211	212	213	212
3	222	221	223	222
4	216	220	220	218.67
5	276	274	278	276
6	224	222	220	222
7	236	236	233	235
8	234	240	237	237

ตารางที่ 4.6.2 ผลการทดสอบความแข็งจากเหล็กหล่อสีเทา ชุดที่ 2

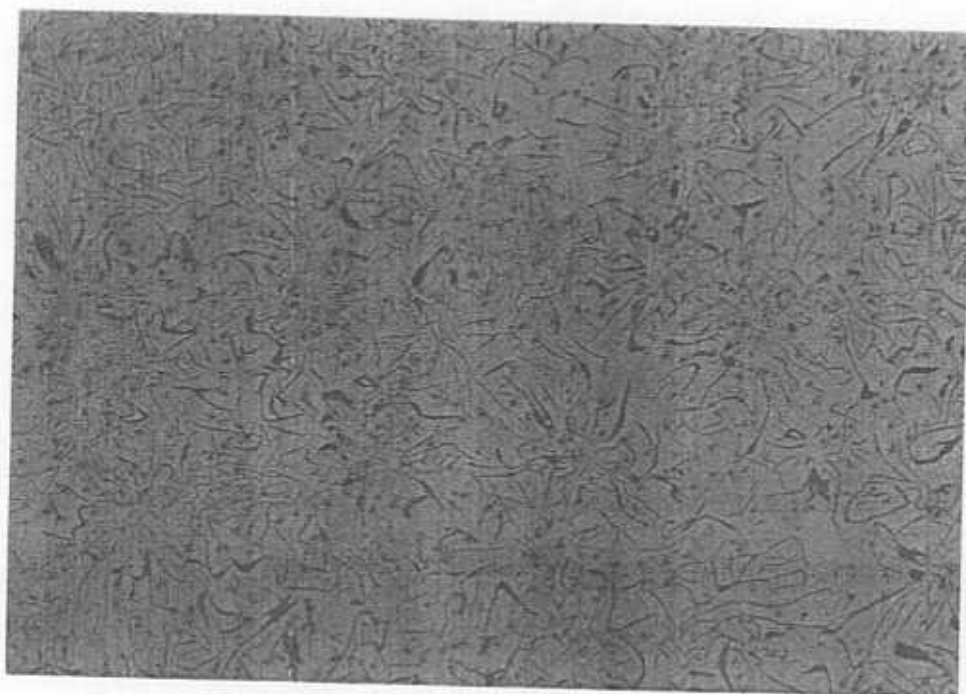
ชั้นตัวอย่าง	ค่าความแข็ง (HB 2.5/187.5)			ค่าเฉลี่ย
	1	2	3	
1	223	225	223	223.67
2	229	226	227	227.33
3	220	225	227	222

4.7 การตรวจสอบจุลทรรศน์

ผลการตรวจสอบจุลทรรศน์หลังหล่อสีเทา ชุด ๆ ละ 42 ตัวอย่าง และเลือกมาแสดงเฉพาะบางตัวอย่าง ดังแสดงในรูปที่ 4.7.1 ถึง 4.7.20



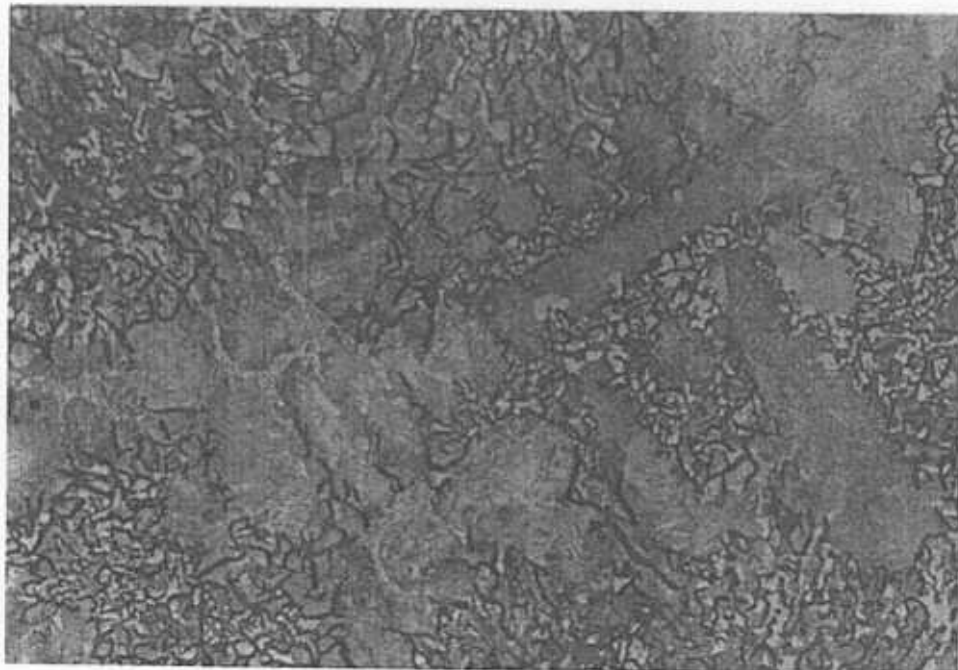
รูปที่ 4.7.1 ตัวอย่างชิ้นงาน ก่อนกัดกรด กำลังขยาย X 100



รูปที่ 4.7.2 ตัวอย่างชิ้นงาน ก่อนกัดกรด กำลังขยาย X 100

โครงสร้างจุลภาคของเหล็กหล่อสีเทา

- เกสต์ดกราไฟต์ (Graphite Flake) ประเกต B,D,E และ A,C เท่านั้น



รูปที่ 4.7.3 ด้าวข่างชิ้นงาน ก่อนกันกรด 3 % Nital กำลังขยาย X 500

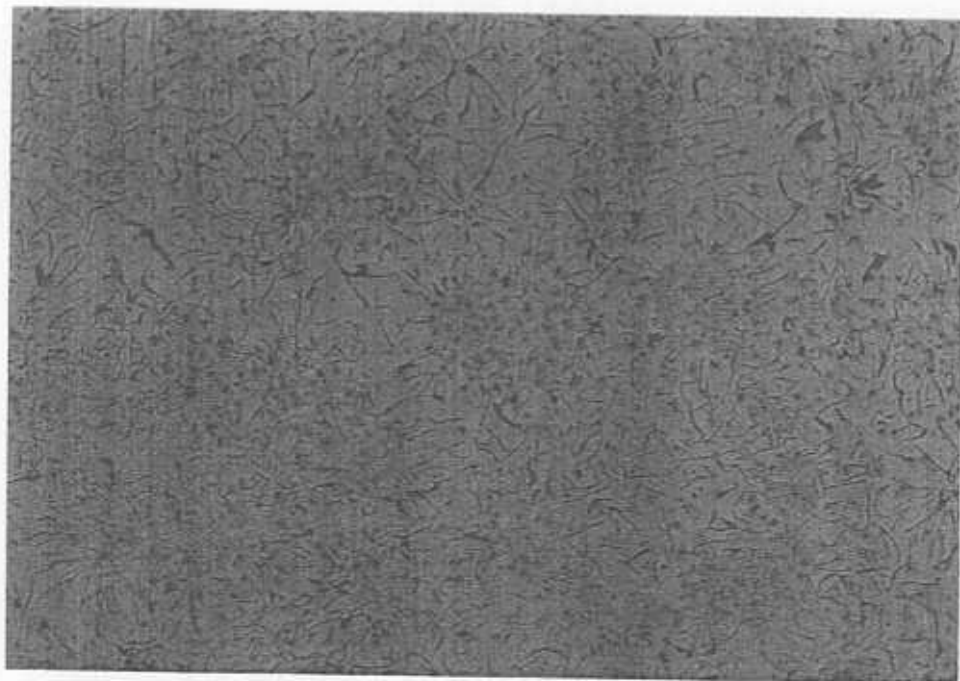
โครงสร้างจุลภาคของเหล็กกล่อสีเทา ที่กำลังขยายสูง

- เกร็คกราไฟต์

- โครงสร้างพื้นเป็นเพิร์ลไลท์ (Lamellar Pearlite) , เฟอร์ไรท์อิสระ (Free Ferrite) และเหล็กฟอสไฟต์ (Steadite)



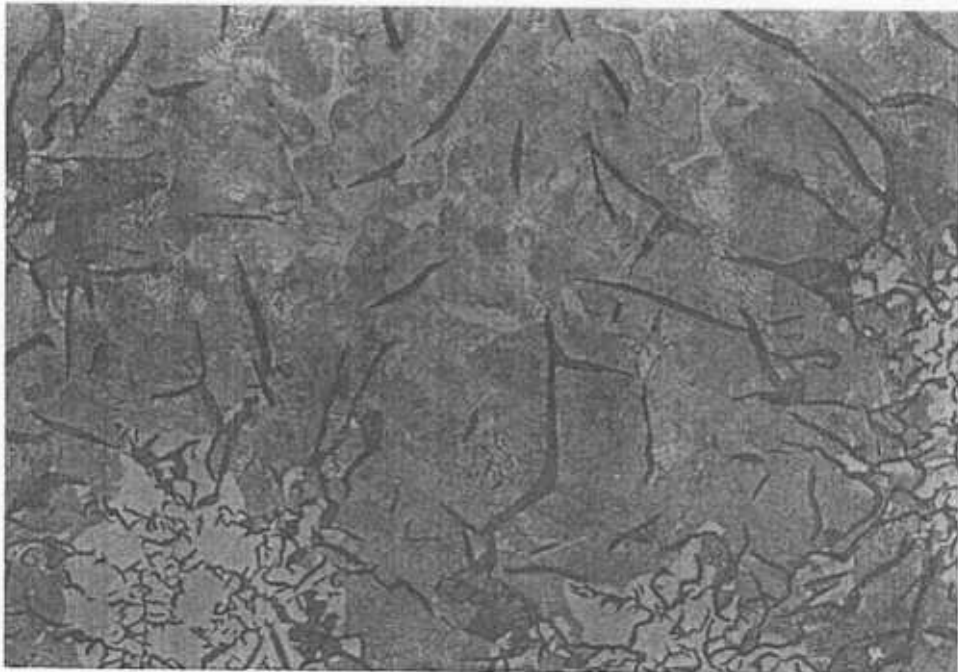
รูปที่ 4.7.4 ตัวอย่างชิ้นงาน ก่อนกัณกรค กำลังขยาย X 100



รูปที่ 4.7.5 ตัวอย่างชิ้นงาน ก่อนกัณกรค กำลังขยาย X 100

โครงสร้างจุลภาคของเหล็กหล่อสีเทา

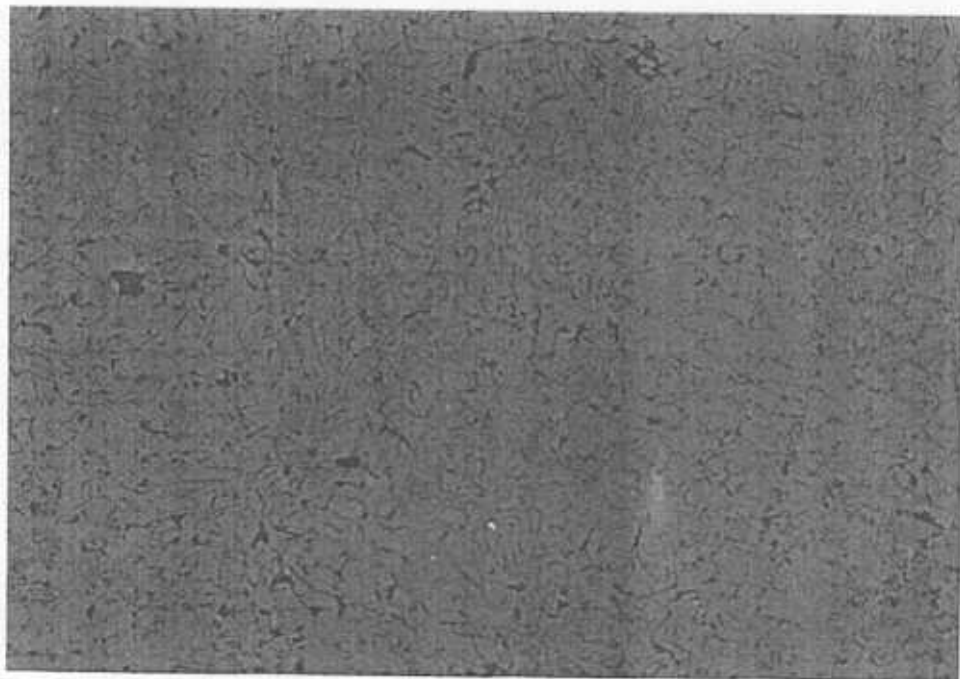
- เกรดกราไฟต์ ประเภท A, B, C และ D



รูปที่ 4.7.6 ตัวอย่างชิ้นงาน ก่อนกันกรด 3 % Nital ถ้าสังขยา X.500

โครงสร้างจุลภาคของเหล็กหล่อสีเทา ที่ถูกสังขยาชุ่ม

- เกตีคกราไฟต์
- โครงสร้างพื้นเป็นเพิร์ลไลท์ (Lamellar Pearlite), ฟีอิร์ฟอเริต (Free Ferrite) และ เหล็กฟอสไฟต์ (Steadite)



รูปที่ 4.7.7 ตัวอย่างชิ้นงาน ก่อนกัณกรด กำลังขยาย X 100
โครงสร้างจุลภาคของเหล็กซีเทา
- เกิดคราไฟฟ์ต์ ประเภท D , E และ A , C เล็กน้อย

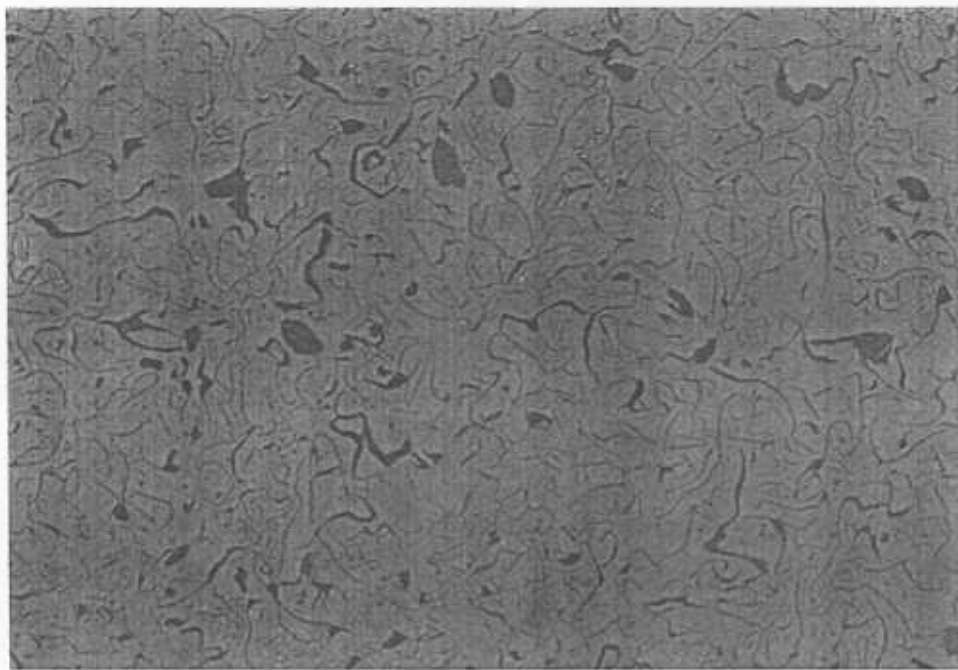


รูปที่ 4.7.8 ด้าวข่างชิ้นงาน ก่อนกัดกรด 3 % Nital กำลังขยาย X 100

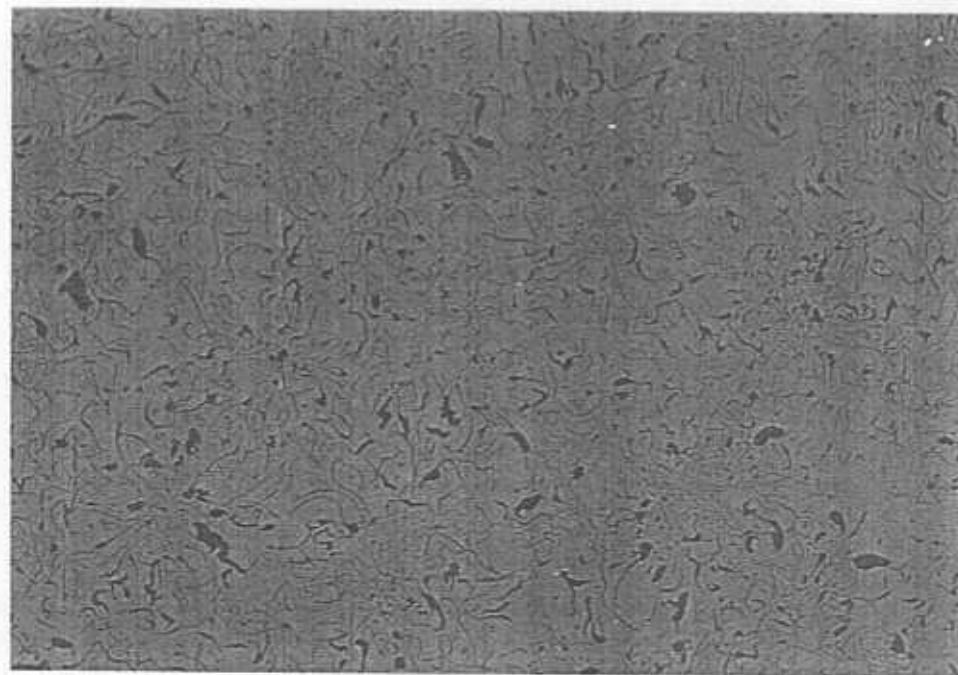
โครงสร้างจุดภาคของเหล็กหล่อสีเทา

- เกร็คกราไฟต์

- โครงสร้างพื้นเป็นเพิร์ลไลท์ (Lamellar Pearlite), ฟอร์ฟีเรทิตระ (Free Ferrite) และ
เหล็กฟอยส์ไฟต์ (Steadite)



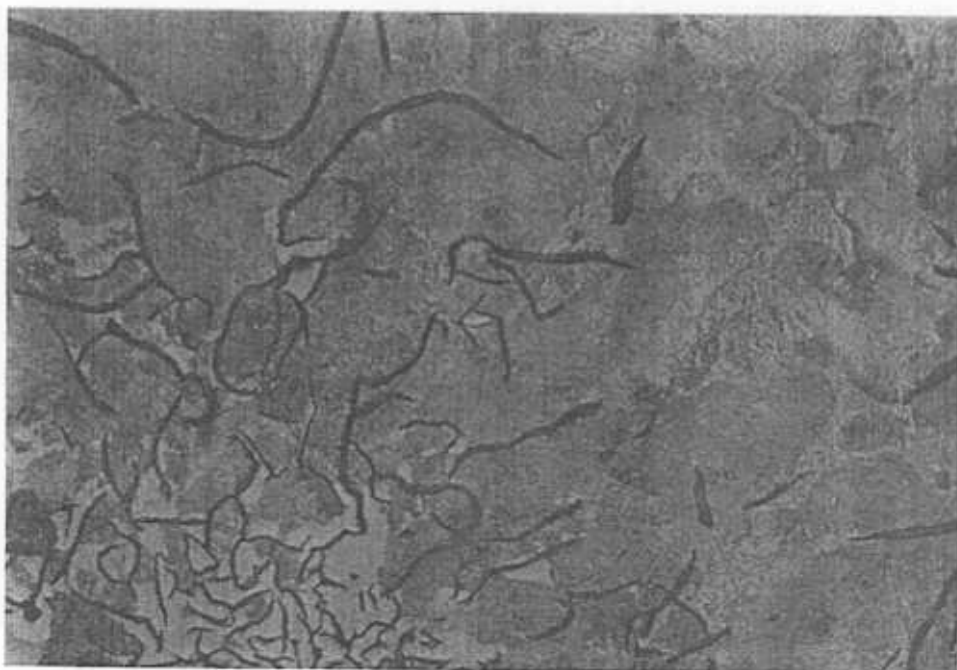
รูปที่ 4.7.9 ตัวอย่างชิ้นงาน ก่อนกัดกรด กำลังขยาย X100



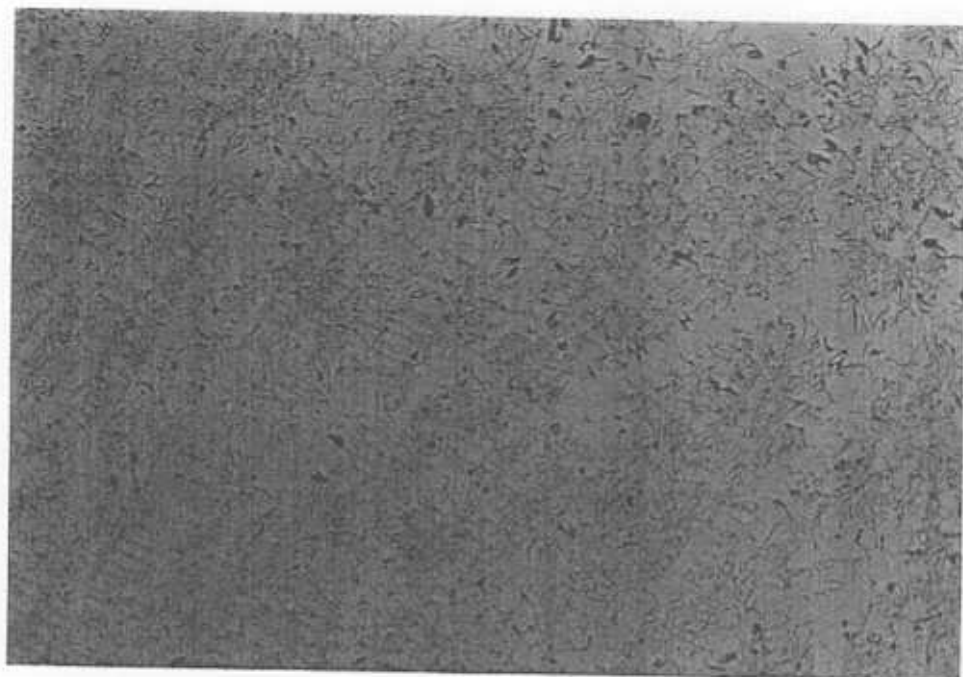
รูปที่ 4.7.10 ตัวอย่างชิ้นงาน ก่อนกัดกรด กำลังขยาย X 100

โครงสร้างจุลภาคของเหล็กหล่อสีเทา

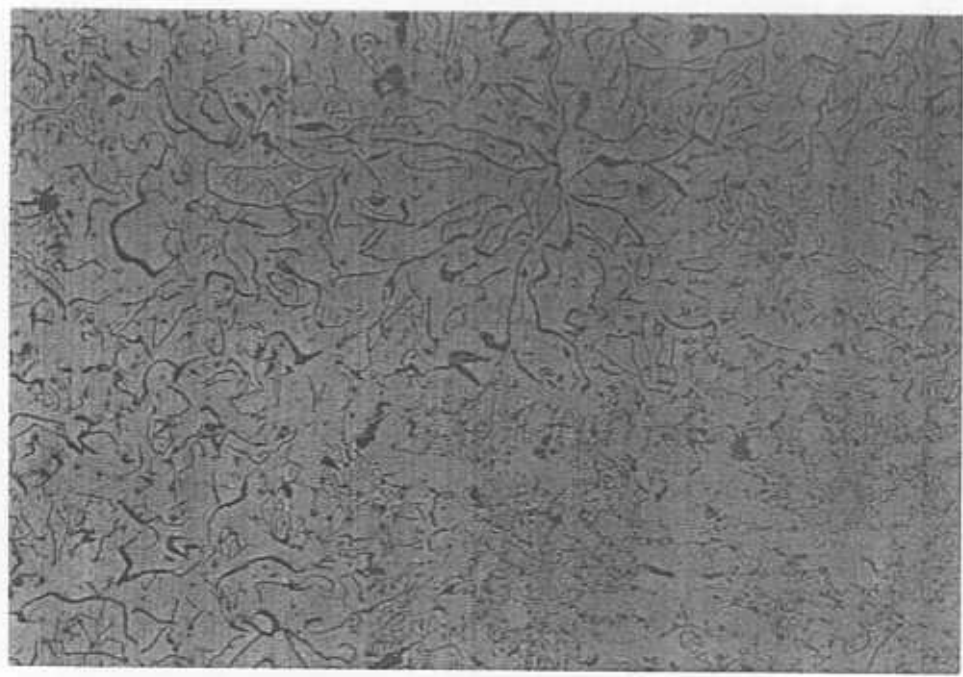
- เกรดกราไฟต์ ประเภท A, B , C และ E เหล็กน้ำดี



รูปที่ 4.7.11 ด้วยข่างชั้นงาน ก่อนกัดกรด 3 % Nital กำลังขยาย X 100
โครงสร้างจุลภาคของเหล็กหล่อสีเทา
- เหล็กกราไฟต์
- โครงสร้างพื้นเป็นเพิร์ลไลท์ (Lamellar Pearlite), เฟอร์ไรท์อิสระ (Free Ferrite) และ
เหล็กฟอสฟิด (Steadite)



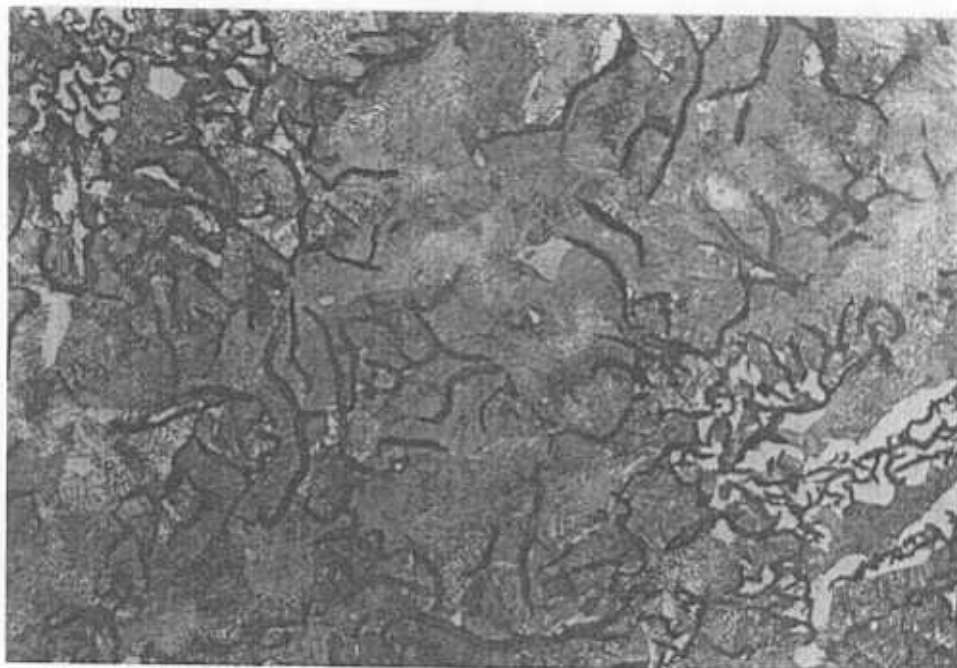
รูปที่ 4.7.12 ตัวอย่างชิ้นงาน ก่อนกัดกรด กำลังขยาย X 100



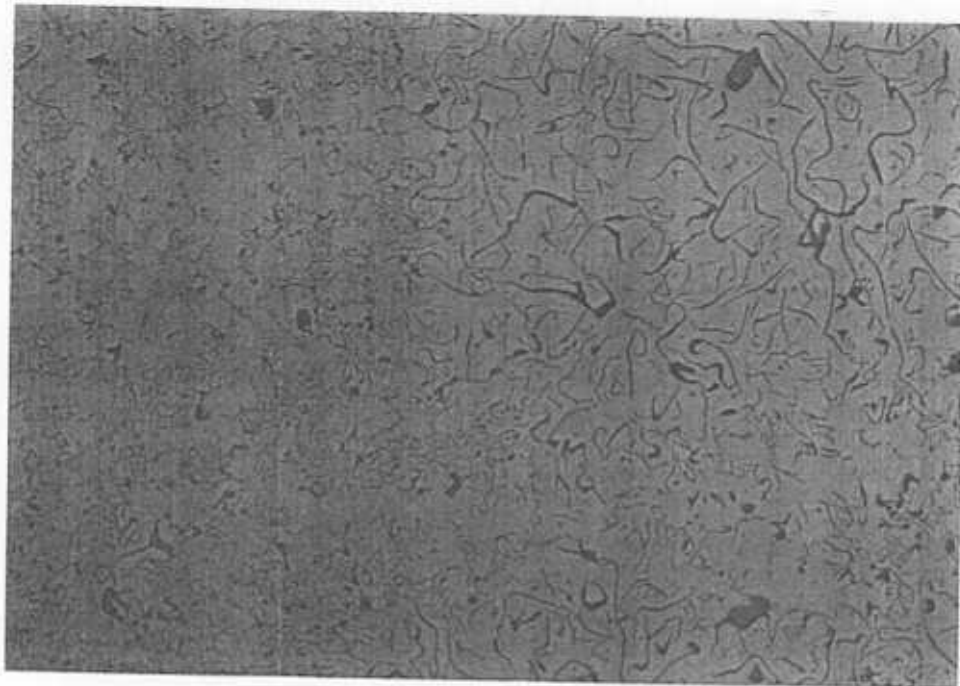
รูปที่ 4.7.13 ตัวอย่างชิ้นงาน ก่อนกัดกรด กำลังขยาย X 100

โครงสร้างจุลภาคของเหล็กหล่อสีเทา

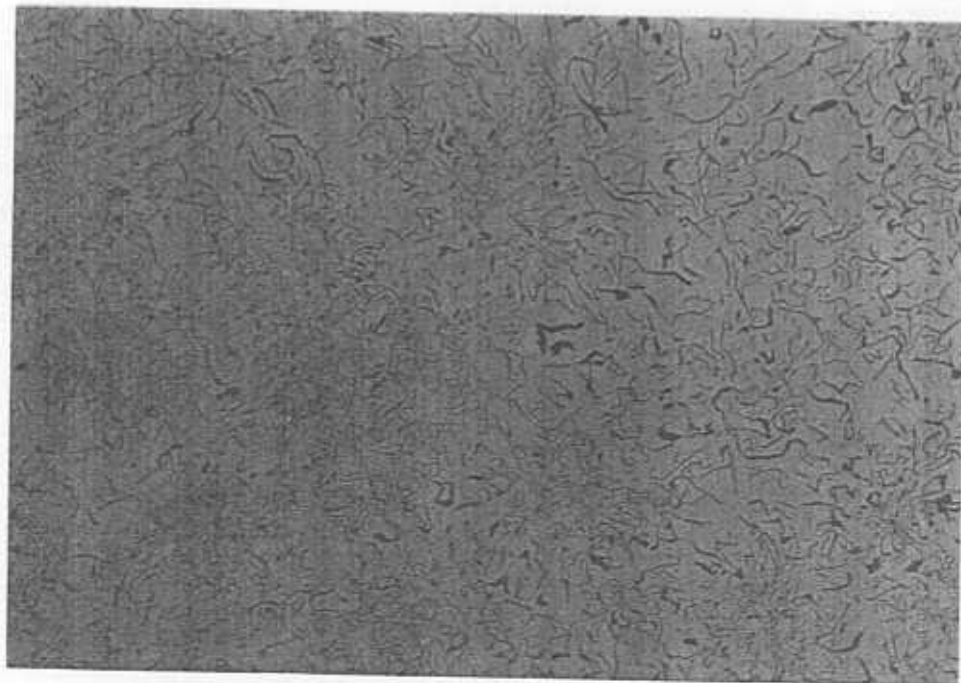
- เกตีคราไฟต์ (Graphite Flake) ประเภท A , B , C , E และ D เล็กน้อย



รูปที่ 4.7.14 ตัวอย่างชิ้นงาน ก้อนกัดกรด 3 % Nital กำลังขยาย X 500
โครงสร้างจุลภาคของเหล็กหล่อเตา ที่กัดจงขายสูง
- เกล็ดกราไฟต์
- โครงสร้างพื้นเป็นเพิร์ลิตไสท์ (Lamellar Pearlite), เพอร์ไรท์อิสระ (Free Ferrite) และ
เหล็กไฮส్เตడైต (Steadite)



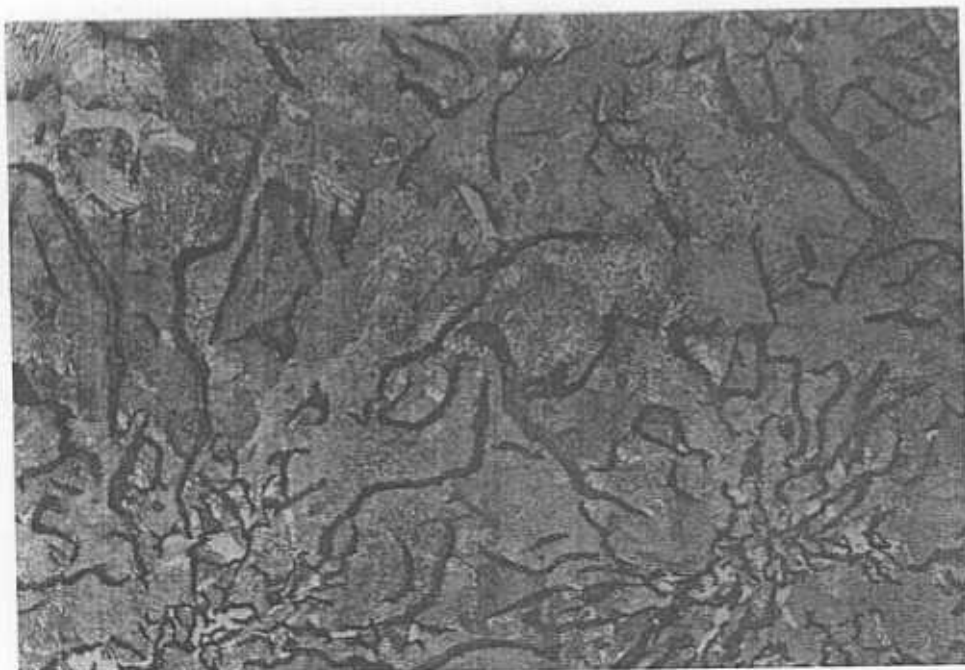
รูปที่ 4.7.15 ตัวอย่างชิ้นงาน ก่อนกัดกรด กำลังขยาย X 100



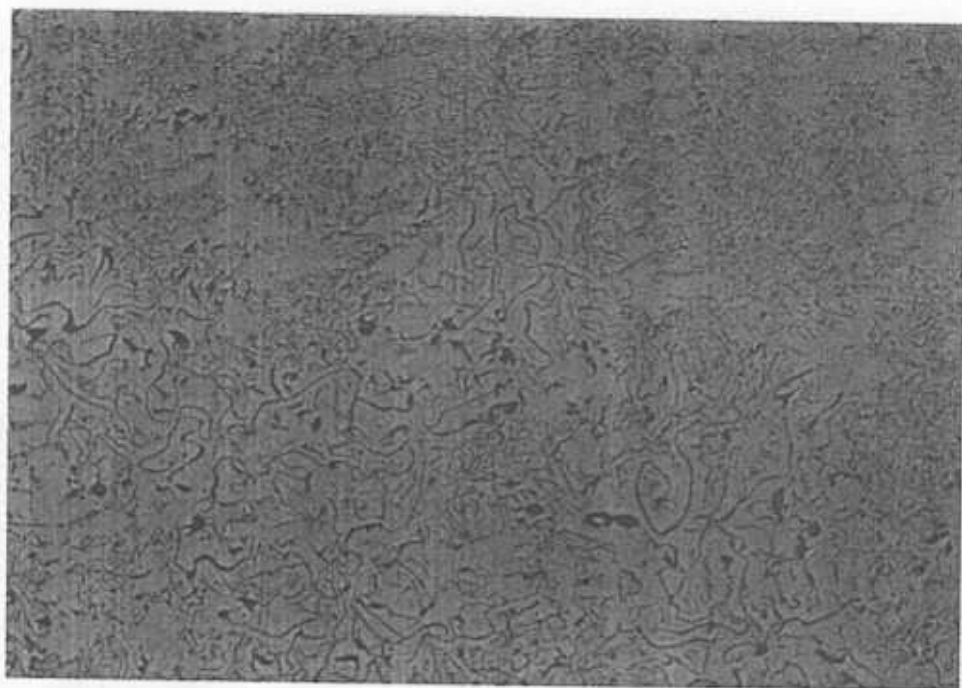
รูปที่ 4.7.16 ตัวอย่างชิ้นงาน ก่อนกัดกรด กำลังขยาย X 100

โครงสร้างยุลภาคของเหล็กหล่อสีเทา

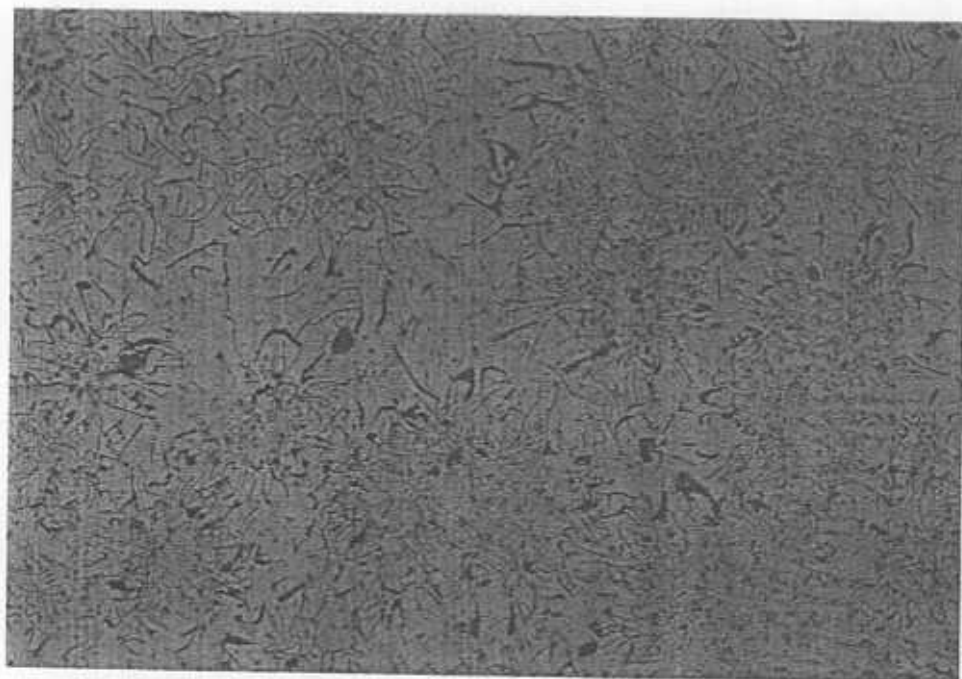
- เกล็ดกราไฟต์ ประเกต A , B , C , D และ E



รูปที่ 4.7.17 ด้วยช่างชิ้นงาน ก้อนกัดกรด 3% Nital กล้องจุลทรรศน์ X 500
โครงสร้างจุลภาคของเหล็กหล่อสีเทา ที่ก้าลังข้ายสูง
- เกล็ดกราไฟต์
- โครงสร้างพื้นเป็นเพิร์ลไรท์ (Lamellar Pearlite), ฟีร์ไรท์อิสระ (Free Ferrite) และ
เหล็กฟอยส์ไฟต์ (Steadite)



รูปที่ 4.7.18 ตัวอย่างชิ้นงาน ก่อนกัดกรด กำลังขยาย X 100



รูปที่ 4.7.19 ตัวอย่างชิ้นงาน ก่อนกัดกรด กำลังขยาย X 100

โครงสร้างจุลภาคของเห็ดกล้วยสีเทา

- เกตีคกร้าไฟฟ์ ประเภท A, B, C, D และ E



รูปที่ 4.7.20 ตัวอย่างขั้นจาน ก่อนกัดกรด 3% Nital กำลังขยาย X 500
โครงสร้างชุลภาคของเหล็กหล่อสีเทา ที่กำลังขยายสูง
- เกล็ดกราไฟต์
- โครงสร้างพื้นเป็นเพิร์ล ไลท์ (Lamellar Pearlite) , เฟอร์ไรท์อิสระ (Free Ferrite) และ^{ที่}เหล็กฟอสไฟต์ (Steadite)

บทที่ 5สรุปผลการวิจัย

จากการศึกษาประเพณของเหล็กหดอ ทดสอบความต้านทานของเหล็กหดอ ทดสอบความต้านทานของเหล็กหดอที่ได้รับการเผาไหม้ในอุ่นสูงสุด 300 °C ให้ได้รูปแบบของเหล็กหดอที่เป็นเส้นใยฟลัค (Graphite Flake) ประมาณ 4.7 ชั้น ซึ่งแสดงให้เห็นว่าเป็นเหล็กหดอที่มีโครงสร้างเป็นเฟอร์ไรท์ (Ferrite) และเหล็กฟอสฟอร์ฟายด์ (Sesquicarbide) ไม่มีโครงสร้างพื้นเป็นเพิร์ลิต (Pearlite), เฟอร์ไรท์ (Free Ferrite) และเหล็กฟอสฟอยด์ (Sesquicarbide)

การหาปริมาณของธาตุในเหล็กหดอด้วย Spark Optical Emission Spectrometer มีธาตุที่เป็นองค์ประกอบที่สำคัญโดยเฉลี่ยดังนี้ 3.20 % C, 3.30 % Si, 0.305 % Mn, 0.155 % P และ 0.70 % S เมื่อเปรียบเทียบกับมาตรฐานของอเมริกา ASTM A 159 - 72 ปรากฏว่าปริมาณคาร์บอนและฟอสฟอร์ฟอยด์ในเกณฑ์มาตรฐาน ปริมาณเชิงก้อนและขัดฟองสูงกว่าเกณฑ์มาตรฐาน สำหรับปริมาณแมงกานิสต่ำกว่าเกณฑ์มาตรฐาน

จากการทดสอบความต้านทานแรงดึงของเหล็กหดอสีเทา จากชุดที่ 1 ได้แรงดึงสูงสุด 73850 N, ความต้านทานแรงดึงสูงสุด 237 N/mm², การขีดตัว 0.40 - 1.20 % จากชุดที่ 1 ได้แรงดึงสูงสุด 67550 N, ความต้านแรงดึงสูงสุด 203 N/mm², การขีดตัว 0.50 - 0.80 %

ความต้านทานต่อแรงกระแทกของเหล็กหดอสีเทาที่มีค่า 2 ชุด เมื่อพิจารณาภัณฑ์มาตรฐานจากตาราง ก.13 ค่าที่ได้จะต่ำกว่าความต้านทานต่อแรงกระแทกของเหล็กหดอสีเทาที่ด้วย

ความแข็งบรินล์ล์ของเหล็กหดอสีเทาทั้ง 2 ชุด อยู่ในช่วง 212 HB - 276 HB ซึ่งอยู่ในช่วงที่ก้าหนดเมื่อพิจารณาจากตาราง ก.1.3

จากการทดสอบจุดไฟของเหล็กหดอสีเทา 2 ชุด อยู่ในช่วง 212 HB - 276 HB ซึ่งอยู่ในช่วงที่ก้าหนดเมื่อพิจารณาจากตาราง ก.1.3

บรรณานุกรม

1. คงยูป พุทธมจกและคณะ, วัสดุช่าง, สำนักพิมพ์พิทักษ์อักษร, กรุงเทพฯ, 2534
2. ประเสริฐ มหาสารานนท์, วัสดุอุตสาหกรรม, สำนักพิมพ์พิทักษ์อักษร, กรุงเทพฯ, 2534
3. มนัส สถิติจินดา, เหล็กหล่อ, พิมพ์ครั้งที่ 2, วิศวกรรมสถานแห่งประเทศไทย,
โรงพิมพ์จุฬาลงกรณ์มหาวิทยาลัย, กรุงเทพฯ, 2533
4. นานพ ตันคระบันฑิตย์, งานทดสอบวัสดุอุตสาหกรรม, พิมพ์ครั้งที่ 1, สมาคมส่งเสริม
เทคโนโลยี (ไทย-ญี่ปุ่น), อช.-เออ การพิมพ์, กรุงเทพฯ, 2531
5. บริษัท สุตะบุตร และคุณยิ จิจิอิwa, หล่อโลก, KINMEI PRINTING CO.,LTD., 2517
6. สำนักงานมาตรฐานผลิตภัณฑ์อุตสาหกรรม, มาตรฐานผลิตภัณฑ์อุตสาหกรรมเหล็กหล่อสีเทา
นบก.536 - 2527, กระทรวงอุตสาหกรรม, กรุงเทพฯ
7. สำนักงานมาตรฐานผลิตภัณฑ์อุตสาหกรรม, มาตรฐานผลิตภัณฑ์อุตสาหกรรมการทดสอบแรง
ดึง นบก. 244 เล่มที่ 4 ถึง 7 - 2525, กระทรวงอุตสาหกรรม, กรุงเทพฯ
8. สำนักงานมาตรฐานผลิตภัณฑ์อุตสาหกรรม, มาตรฐานผลิตภัณฑ์อุตสาหกรรม การทดสอบ
แรงกระแทก นบก. 244 เล่มที่ 8 - 2522, กระทรวงอุตสาหกรรม, กรุงเทพฯ
9. สำนักงานมาตรฐานผลิตภัณฑ์อุตสาหกรรม, มาตรฐานผลิตภัณฑ์อุตสาหกรรม นบก. 244 เล่ม
1 ถึง 3 2520, กระทรวงอุตสาหกรรม, กรุงเทพฯ
10. สำรวจ อินแบน และ สุกชัย ประเสริฐกุล, การทดสอบคุณสมบัติทางกลของเหล็กหล่อ ที่ผลิต
จากโรงงานสินค้าเมือง จังหวัดอยุธยา, มหาวิทยาลัยขอนแก่น, 2530
11. Herman.W.Pollack, Materials Science and Metallurgy, Fourth Edition, Prentic - Hall
Internal Editions.
12. Lawrence H. Van Vlack, Elements of Materials Science and Engineering, Fifth
Edition USA, 1985
13. L.Bjerregard, K. Geels, B.Ottesen and M. Ruckert, Metalog Guide, Struers, 1992
14. William D. Callister, JR., Materials Science and Engineering, Second Edition, John
Wiley & Sons, Inc., USA, 1991
15. William F.Smith, Principles of Materials Science and Engineering, Second Edition,
Singapore, 1990

ภาคผนวก ก

ก. อิทธิพลของชาตุต่าง ๆ ที่มีผลต่อสมบัติทางกลของเหล็กหล่อ

เนื่องจากเหล็กหล่อ มีส่วนผสมของชาตุหลายชนิด ซึ่งมีผลต่อคุณสมบัติของเหล็กหล่อ เช่น สมบัติทางกลต่าง ๆ ความสามารถในการขึ้นรูป การเชื่อม และการดัดแปลง เป็นต้น สำหรับเหล็กหล่อสีเทา มีชาตุที่เป็นองค์ประกอบอยู่ 5 ชาตุ ที่มีอิทธิพลต่อคุณสมบัติของเหล็กหล่อสีเทา ดังนี้

ก. 1. คาร์บอน (C)

เหล็กหล่อสีเทาเป็นเหล็กที่มีชาตุคาร์บอนผสมอยู่ในปริมาณที่สูง จึงเป็นชาตุที่สำคัญและมีอิทธิพลมากที่สุดต่อความสามารถอยู่ในเนื้อเหล็ก ได้ 2 รูปแบบ คือ รูปของกราไฟต์เป็นครัวร้อนอิสระ และอยู่ในรูปของสารประกอบกับเหล็ก เรียกว่าซีเมนタイト์ (Cementite) รูปแบบที่เกิดขึ้นส่วนใหญ่เป็นผลมาจากการซิลิกอนที่ผสมอยู่ในเหล็ก

ปริมาณของชาตุคาร์บอนที่ผสมอยู่ในเหล็กจะมีผลทำให้ความแข็งเพิ่มขึ้น โดยความแข็งของเหล็กจะเพิ่มขึ้นตามปริมาณของครัวร้อนพร้อมกับการลดลงของเหล็กคล่อง ความแข็งของเหล็กเป็นผลมาจากการรีบินต์ที่แทรกอยู่ในเนื้อเหล็ก และมีปริมาณที่เปลี่ยนไปตามปริมาณของครัวร้อน คือ

ครัวร้อน %	0.38	0.7	2.0
เหล็กคราร์บไนต์ %	5.0	10	30

เหล็กคราร์บไนต์ที่เกิดขึ้นจะมีผลทำให้การยืดตัวของเหล็กลดลง Reduction of Area ลดลงและทำให้ Impact Strength ลดลง และยังมีผลทำให้ความต้านทานไฟฟ้าในเหล็กเพิ่มขึ้น มีความหนาแน่นเพิ่มอีกด้วย

ก. 2. ซิลิกอน (Si)

ซิลิกอนมีชาตุหลอมเหลวที่ 1410 °C ซิลิกอนที่มีอยู่ในเนื้อเหล็กจะทำให้มี Yield Strength สูงขึ้น เกิดการแข็งประมาณและมีผลทำให้ครัวร้อนจับกับเหล็กกล้ายเป็นคราร์บินต์ได้ยาก ซึ่งครัวร้อนจะแยกตัวออกจากเป็นกราไฟต์

ก. 3. เมงกานีส (Mn)

เมงกานีสมีชาตุหลอมเหลว 1244 °C เมงกานีสจะช่วยลดปริมาณซัลฟอร์ในเหล็กโดยรวมตัวกับซัลฟอร์อยู่ในรูปเมงกานีสชัลไฟต์ ทำให้เหล็กมีความแข็งแรงเพิ่มขึ้น เนื่องจากเมงกานีสช่วยให้การห้าให้เกิดคราร์บินต์โดยรวมตัวกับเหล็กอยู่ในรูปเมงกานีสคราร์บินต์ และยังช่วยเหล็กมีความสามารถในการรีบอร์นได้ง่ายขึ้นด้วย

ก.4. ชั้อเฟอร์ (S)

ชั้อเฟอร์มีจุดหลอมเหลว 118°C เมื่อ放进อยู่ในเหล็กจะรวมตัวอยู่ในรูปเหล็กซัลไฟฟ์ ซึ่งจะไม่ละลายในเนื้อเหล็กโครงสร้างนี้จะมีอุณหภูมิหลอมเหลวที่ (988°C) ถึงแม้ว่าจะมีปริมาณชั้อเฟอร์ต่ำมากก็ตาม เหล็กซัลไฟฟ์จะเก็บขึ้นในขณะที่จะสิ้นสุดการแข็งตัวและจะแพร่กระจายอยู่ที่ขอบเกรน เมื่อน้ำเหล็กที่ได้ไปรีดร้อนหรือตีขึ้นรูปที่อุณหภูมิ $1000 - 1200^{\circ}\text{C}$ จะทำให้เหล็กแตกหรือขาดจากกันซึ่งเรียกว่า Hot Shortness หรือ Red Shortness

เหล็กซัลไฟฟ์จะมีผลทำให้คุณสมบัติต่าง ๆ ของเหล็กลดลง เช่น Ductility , Plasticity และ ทักษะการเชื่อม ได้มาก ลดความสามารถในการด้านงานการกัดกร่อนของเหล็กลดลง

ก.5. ฟ้อสฟอรัส (P)

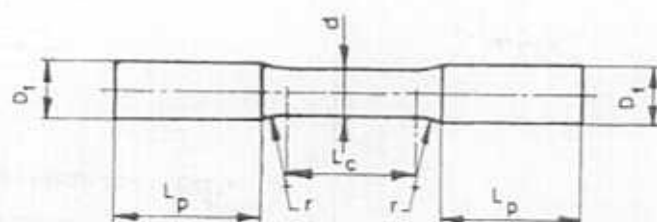
ฟ้อสฟอรัสมีจุดหลอมเหลว 44°C สามารถละลายในเหล็กได้ที่อุณหภูมิต่ำ (α - iron) และอุณหภูมิสูง (γ - iron) ซึ่งอยู่ในรูปของ Fe_3P หรือ Fe_5P ถ้าปริมาณฟ้อสฟอรัสมากซึ่งจะละลายอยู่ใน (α - iron) จะมีผลทำให้ Tensile Strength และ Yield Strength ของเหล็กสูงขึ้นแต่ Ductility และ Plasticity กลับลดลง และจะลดลงมากขึ้นตามปริมาณการเพิ่มขึ้นของคาร์บอนในเหล็ก

ภาคผนวก ข.

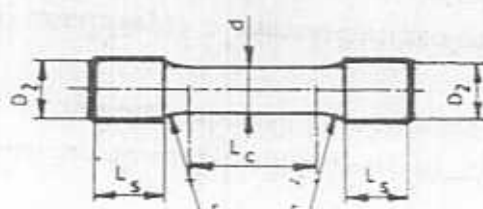
ข. การทดสอบคุณสมบัติทางกลและการตรวจสอบอุปกรณ์โครงสร้าง

ข.1. การทดสอบแรงดึง

มาตรฐานผลิตภัณฑ์อุตสาหกรรม นอ. 536 - 2577 ส້าหารັບເຫຼືກທະລີ່ມາຫາ ການເຕີບປົ້ນຊັ້ນກົດສອນທໍາໄລຍການນໍາຕັວອ່າງນ້ຳເຫັນມາເຖິງແບບກາຍເປັນຊັ້ນກົດສອນຽຸປງກຮບອກທີ່ມີບັນາຄເສັ້ນຜ່ານຫຼຸນຍົກລາງ 30 ± 1.5 ມິລືລິມີຕຣ ມີຄວາມຍາວໃນນ້ຳກວ່າ 230 ມິລືລິມີຕຣ ແລ້ວນໍາມາເຂົ້າຽຸປງດ້ວຍເຄື່ອງກົງລົງໃຫ້ໄດ້ຽຸປງປ່າງຕັ້ງແຕດຈິງໃນຽຸປ່າງ ທີ່ ข. 1 ແລະ ດາວວັນທີ ข. 1 ໂດຍປະຈາກຕໍາຫັນໄດ້ ຈາເຊື່ອ ວ່ອງ ຜົມໂອຍແຕກຮ້າວດ່າງ ຈາ ສ່ວນໄດ້ຂອງຈົບຕ້ອງເຮັນ ເມື່ອໄດ້ຊັ້ນກົດສອນເຮັນຮ້ອຂແລ້ວນໍາໄປກົດສອນດາມ ນອກ. 244 ເລີ່ມ 4 - 2525 ການກົດສອນເຫຼືກກຳລັງໄດ້ຍການດຶງ (ຫ້ວໄປ)



ຊັ້ນກົດສອນແບບປ່າຍເຮັນ



ຊັ້ນກົດສອນແບບປ່າຍເກີ້ວ

ຮູບທີ ข. 1. ຮູ່ປ່າງຂອງຊັ້ນກົດສອນແຮງດຶງ

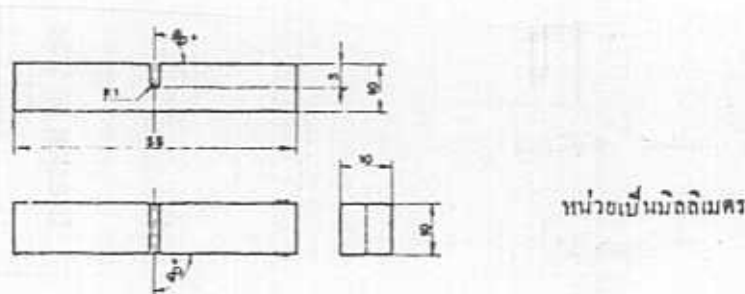
ตารางที่ ข.1. ขนาดของชิ้นทดสอบแรงดึง

หน่วยเป็นมิลลิเมตร

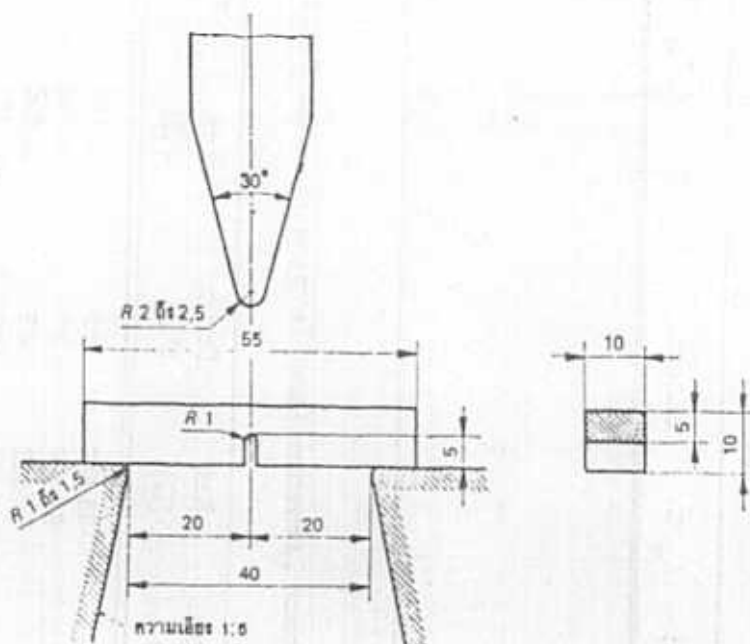
เส้นผ่านศูนย์กลาง d	ความยาว ส่วนบน ต่ำสุด L_c	รัศมีบ่า r	แบบปลายเรียบ		แบบปลายเกลี้ยง	
			เส้นผ่านศูนย์กลาง D_1	ความยาว ของส่วนที่ ใช้จับ ต่ำสุด L_p	เส้นผ่านศูนย์กลาง D_2	ความยาว ของส่วนที่ ใช้จับ ต่ำสุด L_s
20 ± 0.5	55	25 ⁺⁵ -	25	65	25	30

ข.2. การทดสอบแรงกระแทก

ในการวิจัยครั้งนี้ได้ใช้มาตรฐานผลิตภัณฑ์อุตสาหกรรม มอก. 244 เล่ม 8-2522 เป็นการทดสอบการกระแทกชาร์บี ร่องนากรูป U โดยการใช้ตัวอย่างเดียวที่ชิ้นทดสอบเพียงครั้งเดียวให้หักภายในได้ระยะประมาณ 10 มิลลิเมตร ตรงกลางของความยาวที่หักเป็นร่องนากรูป U สีครีม มิลลิเมตร ตรงกัน ร่องนากรูปครึ่งวงกลม รัศมีความกว้าง 1 มิลลิเมตร และอีกด้วยปลายให้แน่น แล้ววัดค่าพัฒนาที่ชิ้นทดสอบได้รับ เมื่อชิ้นทดสอบหักขาดออกจากกัน ลักษณะการทดสอบการกระแทก ดังแสดงในรูปที่ ข.2.2



รูปที่ ข.2.1 รูป่างของชิ้นทดสอบการกระแทกชาร์บี ร่องนากรูป U

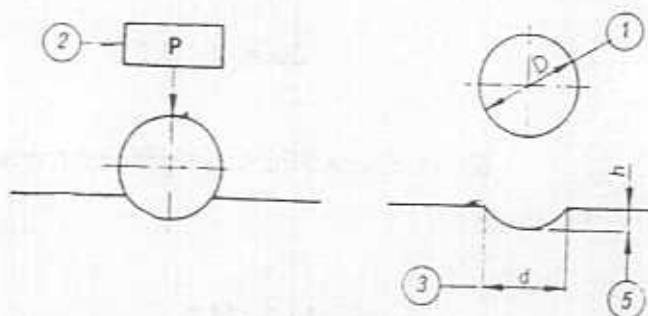


หน่วยเมตรนิยม

รูปที่ ข. 2.2 ลักษณะการทดสอบการกระแส

ข.3. การทดสอบความแข็ง

ตามมาตรฐานผลิตภัณฑ์อุตสาหกรรม นก. 244 เล่ม 2 - 2520 การทดสอบความแข็งบริเนนส์สำหรับเหล็กกล้าและเหล็กหล่อคือการให้ถูกเหล็กทรงกลมแข็งกดด้วยแรงที่แผ่นอนลงบนชิ้นงาน พื้นที่รอยกดและแรงที่ใช้นามากที่สุด叫做ความแข็ง ลักษณะของการกด สัญลักษณ์และข้อกำหนด ดังแสดงในรูปที่ ข. 3 และตารางที่ ข. 3



รูปที่ ข. 3 ลักษณะของการทดสอบความแข็งบริเนนส์

ตารางที่ ข. 3 สัญลักษณ์และข้อกำหนด

หมายเลข	สัญลักษณ์	ข้อกำหนด
1	D	เดินผ่านศูนย์กลางของทรงกลมเหล็กกล้า เป็นมิลลิเมตร
2	P(F)	แรงกดเป็นนิวตัน (กิโลกรัมแรง)
3	d	เดินผ่านศูนย์กลางของรอยบุ่น เป็นมิลลิเมตร
4	HB	ความแข็งบริเนลล์ $= \frac{0.102 \text{ แรงกซ }}{\text{พื้นที่ตามคิวไดจของรอยบุ่น}} \quad (\text{หรือ}) \quad \frac{\text{แรงกซ}}{\text{พื้นที่ตามคิวไดจของรอยบุ่น}} \quad \text{เมื่อแรงกดเป็นกิโลกรัมแรง}$ $= \frac{0.204P}{\pi D(D - \sqrt{D^2 - d^2})} \quad (\text{หรือ}) \quad \frac{2F}{\pi D(D - \sqrt{D^2 - d^2})}$ ความถึกของรอยบุ่น เป็นมิลลิเมตร
5	h	

ข. 4 การตรวจสอบอุปกรณ์

การตรวจสอบอุปกรณ์ ของโลหะ เป็นการศึกษา โครงสร้าง คุณภาพ ของอุปกรณ์ เพื่อคุณภาพที่ถูกต้อง ของเกรด การกระจายของเฟส ซึ่งมีผลต่อคุณสมบัติของวัสดุ ดังนั้นจึงเป็นต้องมีการเตรียมชิ้นตัวอย่างก่อน ซึ่ง มีขั้นตอนดัง ๆ ที่ เป็นหลักสำคัญ ได้แก่ การตัด (Cutting) , การทำเรือน (Mounting) การเตรียมชิ้นตัวอย่าง ด้วยวิธี กต (Mechanical Preparation)

การตัดชิ้นตัวอย่าง ขึ้นอยู่กับขนาด รูปร่าง หรือความแข็งของวัสดุที่จะต้องน้ำหนัก ความเรียบและผิวที่มี การแปรรูป หรือเปลี่ยนแปลง โครงสร้าง น้อยที่สุด ซึ่งสามารถหล่อเย็นด้วยน้ำแข็ง ทำการตัด และการตัดนั้นจะ ต้องให้ได้ชิ้นตัวอย่างที่ เป็นสมือนตัวแทนของชิ้นตัวอย่างทั้งหมด

การทำเรือน หุ้มชิ้นงาน ด้วยเรซิ่น เพื่อความสะดวกในการจับถือ และการเตรียมชิ้นตัวอย่าง ในตอนต่อๆ ไป การทำ Hot Mounting เรซิ่น จะถูกยัดด้วยแรงกดสูง และความร้อน จนเบ่งตัวอบชิ้นตัวอย่าง

การขัดระนาบ (Plane Grinding , PG) เป็นขั้นตอนแรกในการขัดผิวชิ้นตัวอย่าง เพื่อให้มีระนาบผิวที่ไกส์ เกียงกันมากที่สุด ซึ่งผงขัดที่ใช้ขึ้นอยู่กับคุณสมบัติของวัสดุที่เตรียม หลังจากนั้นจึงเป็นการขัดละเอียด (Fine - Grinding ,FG) เพื่อให้ได้ผิวเรียบ ขณะทำการขัดจะใช้น้ำ และสารหล่อเย็นตลอดเวลา เพื่อรักษาความร้อนซึ่งมี ผลต่อ โครงสร้างของวัสดุ

การขัดมัน (Polishing) จะเหมือนกับการขัดลักษณะเดียวกันแต่ทำให้น้ำที่ขัดผิวที่เสียหายเนื่องจากขั้นตอนก่อนออกไป ผงขัดที่ใช้จะมีความละเอียดสูง ชื่อว่าการขัดมัน 2 แบบ คือ ขัดมันด้วยผงขัดเพชรและขัดด้วยผงขัดออกไซด์

เมื่อผ่านขั้นตอนการขัดมันแล้ว จึงนำเข้าขั้นตัวอย่างไปกัดกรด โดยตัวน้ำที่ย่อนจะถูกกรดกัดเป็นร่องลึก แล้วนำไปซึมน้ำด้วยน้ำก๊าซหรือออกซิเจน ต่อจากนั้นก็เป่าด้วยลมร้อน เพื่อขัดลอกเศษส่วนที่ไม่ต้องการ ตรวจสอบจุดโครงสร้างด้วยกล้องจุลทรรศน์ค่อนไป

ภาคผนวก ค.

ค.1 มาตรฐานเหล็กหล่อสีเทา

เนื่องจากเหล็กหล่อสีเทาเป็นเหล็กที่มีชาติการ์บอนเพนอยู่ในลักษณะที่แตกต่างกัน คุณสมบัติทางกลของเหล็กหล่อจะขึ้นอยู่กับชนิดของโครงสร้างหลักและรูปร่างของคราฟต์ ดังนั้นจึงทำให้ มาตรฐานของเหล็กหล่อสีเทานี้มีหลายเกรดตามมาตรฐานต่างๆ ได้แบ่งชั้นคุณภาพของเหล็กหล่อดังแสดงในตาราง ค.1.1

ตารางที่ ค.1.1 เหล็กหล่อสีเทาตามมาตรฐานต่างๆ

มาตรฐานอเมริกา (ASTM A 48 - 60 T)								
ชั้นคุณภาพ	20	25	30	35	40	45	50	60
ความเค้นแรงดึง(ตัวสูง)								
(1,000 lb/in ²)	20	25	30	35	40	45	50	60
(Ton/in ²)	8.9	11.1	13.4	15.6	17.9	20.1	22.3	26.8
(Kg/mm ²)	14	17.5	21.1	24.6	28.2	31.7	35.1	42.2
มาตรฐานรัสเซีย (GOST 1412)								
ชั้นคุณภาพ (SCH)	12-28	15-32	18-36	21-40	24-44	28-48	32-52	35-56
ความเค้นแรงดึง								
(ตัวสูง) (Ton/in ²)	7.6	9.5	11.4	13.3	15.2	17.8	20.3	24.1
(Kg/mm ²)	12	15	18	21	24	28	32	38
(ตัวเลขที่ความมาข้างหลังคือ ค่า Bending Stress เป็น Kg/mm ²)								
มาตรฐานญี่ปุ่น (JIS)								
ชั้นคุณภาพ (Fc)	10	15	20	25	30	35		
ความเค้นแรงดึง								
(ตัวสูง) (Kg/mm ²)	10	15	20	25	30	35		
มาตรฐานไทย								
ชั้นคุณภาพ (GCI)	100	150	200	250	300	350	400	
ความเค้นแรงดึง								
(ตัวสูง) (Mpa)	98	147	196	245	294	343	395	
(Kg/mm ²)	10	15	20	25	30	35	40	

มาตรฐานอังกฤษ (BS 1452 : 1961)							
ชั้นคุณภาพ	10	12	14	17	20	23	26
ความต้านแรงดึง							
(ตัวสูง) (Ton/in ²)	10	12	14	17	20	23	26
(Kg/mm ²)	15.7	18.9	22	26.8	31.5	36.2	41
มาตรฐานเยอรมัน (DIN 1691)							
ชั้นคุณภาพ (GGL)	10	15	20	25	30	35	40
ความต้านแรงดึง							
(ตัวสูง) (Ton/in ²)	6.4	9.6	12.7	15.9	19	22.2	25.4
(Kg/mm ²)	10	15	20	25	30	35	40
มาตรฐานฝรั่งเศส (AFNOR A 32-10)							
ชั้นคุณภาพ (F)	14	18	22	26	30		
ความต้านแรงดึง							
(ตัวสูง) (Ton/in ²)	8.9	11.4	14	16.5	19		
(Kg/mm ²)	14	18	22	26	30		

(จากหนังสือ, มนส. สธ.รัฐนิตา, วิศวกรรมสถานแห่งประเทศไทย, จุฬาลงกรณ์มหาวิทยาลัย, กรุงเทพ 2533)

ตารางที่ ๑.๒ ทดสอบส่วนผสมทางเคมีของเหล็กหล่อสีเทาตามมาตรฐาน ASTM A 159-72

Grade	C	Si	Mn	S (max)	P (max)	Approximate Carbon Equivalent
G 1800	3.40-3.70	2.80-2.30	0.50-0.80	0.15	0.25	4.25-4.5
G 2500	3.20-3.50	2.40-2.00	0.60-0.90	0.15	0.20	4.00-4.25
G 3000	3.10-3.40	2.30-1.90	0.60-0.90	0.15	0.15	3.90-4.15
G 3500	3.00-3.30	2.20-1.80	0.60-0.90	0.15	0.12	3.70-3.90
G 4000	3.00-3.30	2.10-1.80	0.70-1.00	0.15	0.10	3.70-3.90 (usually alloyed)

ภาคผนวก จ.

๔. ข้อมูลงานอุดสาหกรรม

ข้อมูลจากที่มีในโรงงาน อุดสาหกรรม จังหวัดอุบลราชธานี โดยสำนักงานอุดสาหกรรมจังหวัด อุบลราชธานี สำนักงานปลัดกระทรวงอุดสาหกรรม กระทรวงอุดสาหกรรม

โรงงานอุดสาหกรรมที่ ๓ เป็นโรงงานที่การตั้งโรงงานจะต้องได้รับใบอนุญาตประกอบกิจการก่อนซึ่งจะ สามารถดำเนินการได้ ซึ่งตั้งอยู่ในเขตอำเภอเมือง จังหวัดอุบลราชธานี

เงิน/คนงาน : 2,600,000 บาท / ชาบ 50 คน หญิง 0 คน

วัดอุดหนา และกำลังการผลิต : เที่ยงเหลือก 400 ตัน , ถ่านไม้ 1,000 กระสอบ , ถ่านไก้ก 30 ตัน

ผลิตภัณฑ์ : ผ่านไดนา 60,000 ชิ้น , เครื่องซีเข้า (สำเร็จรูปขนาดเล็ก) 200 เครื่อง , ถันไดเหลือก 1,000 ตัน

ตารางที่ ค. 1.3 ผลิตภัณฑ์ของเหล็กหล่อเทา

Summarized Data on Grey Cast Iron

Properties	Grade (B.S. 1452:1961)						
	10	12	14	17	20	23	26
Tensile strength (1.2 in. bar) (ton / in. ²)	10	12	14	17	20	23	26
Transverse Strength modulus of rupture (ton / in. ²)	19-24	22-26	25-29	29-32	32-36	36-41	40-45
Compression strength	approx. 40	approx. 40	approx. 50	approx. 50	approx. 65	up to 80	up to 80
Elastic modulus (approx.) in tension (lb. / in. ² $\times 10^5$)	11-15	12-16	14-17	16-19	17-21	18-20	18-22
(These are rough approximations)	Elastic Modulus falls as graphite content increases and as stress rises						
Impact strength*	6-10	6-10	6-12	10-17	12-23	18-35	18-35
(ft.lb.)							
Fatigue/tensile ratio	Varies from 0.35 to 0.47; Lower with higher strength						
Brinell hardness	160 to 300						
Torsion/tensile ratio (solid bar)	1.15 to 1.45						
Modulus of rigidity (lb./in. ²)	3.35-0.38 of the modulus of elasticity in tension						
Shear strength/tensile ratio	Ratio varies from 1.10 to 1.5; the higher ratios being associated with lower strength irons						
Damping capacity	Decreases with increasing tensile strength						
Specific gravity	7.0 to 7.45						
Specific heat (cal/g deg C)	Varies between 0.11 to 0.13 at 100°C and 0.15 to 0.175 up to 1,000°C						
Coefficient of thermal expansion (per deg C)	Varies between 11×10^{-6} and 14×10^{-6} up to 600°C, rising with temperature						
Thermal conductivity (cal/cm s deg C)	Varies between 0.14 and 0.11. Increases with increasing graphite content; decreases with all alloy additions						
Electrical resistivity	Specific resistance varies from 50 to 100 microhms/cm cube and rises with temperature and graphite content						

* Unnotched 0.798 inch diameter test piece tested in an Izod machine (From The Physical and Engineering Properties of Cast Iron) (ในหนังสือที่, นักศึกษาอินดิวิดิวัล, วิศวกรรมศาสตร์, มหาวิทยาลัยราชภัฏอุบลราชธานี, จังหวัดอุบลราชธานี, ประเทศไทย, 2523)

ໜັງການທີ່ ໨.1.4 American Society for Testing and Material³ ASTM.

American Society for Testing and Material³ ASTM.

Cast Iron	Structure	T.S. (ksi)	Y.S. (ksi)	% Elongation	Hardness BHN
Gray	Ferrite & pearlite	18			165
	Pearlite & ferrite	25			200
	Pearlite	30			215
	Fine pearlite	40			240
Vermiculite graphite		Range	Range	Range	Range
	Max 20% graph. In modular form	38-60	28-50	1-3	140-270
Ductile	Annealed ferrite	60	40	18	170
	Ferrite-pearlite	80	55	6	220
	Normalized pearlite	100	70	3	240
Malleable	Ferrite + tempered carbon	50/54	32/35	10/18	(max) 155
	Pearlite	60/105	40/90	1/10	150/320
	Annealed ferrite	50	32	10	(max) 155
High alloy	White iron				450-600
High alloy	Gray iron	20/30			100/250
High alloy	Ductile iron	55/60	28/30	6/20	120/275

* Consult the ASTM, or SAE, Standards Manual for values to be used in designs. The values are illustrative.

Source: SME Tool and Manufacturing Engineering Handbook, Vol. 3, 4th ed., Table 3-10, p. 3-13. By permission from the Society of Manufacturing Engineers.

(©1991 Materials Science and Metallurgy, Herman W. Pollack, Prentice-Hall, International Editions.)

ตารางที่ 1.5 Designation, Minimum Designations, Minimum Mechanical Properties, Approximate Compositions, and Typical Applications for Various Gray, Nodular, and Malleable Cast Irons

Grade	UNI Number	Composition (wt%) ^a		Matrix Structure	Mechanical Properties			Typical Applications	
		C	Si		Tensile Strength $[MPa \times 10^3]$	Yield Strength $[MPa \times 10^3]$	Brittleness (% EL in 2 in.)		
SAE G2500	F10005	3.1	2.2	0.7 Mn	Gray iron	25 (17)	-	Engine blocks, brake drums	
SAE G4000	F10008	3.2	2.0	0.8 Mn	Ferrite + Ferrite	40 (28) X	-	Engine cylinders and pistons	
Battic (Nodular) Iron									
SAFM A536 60-40-18	F32000			Ferrite	60 (44)	40 (27)	18	Valve and pump bodies	
100-70-03	F34000	3.5-3.8	2.0-2.8	<0.20 Ni, <0.10 Mo	Ferrite	100 (690)	70 (48)	3	High strength gears
120-90-02	F36200			Tempered martensite	120 (820)	90 (621)	2	Gears, rollers	
Malleable Iron									
32310 45006	F22200	2.1-2.7	1.0-1.5	>0.55 Mn	Ferrite	50 (34)	32 (22)	10	General
		2.4-2.7	1.75-1.55	<0.55 Mn	Ferrite + perlite	65 (44)	45 (31)	6	Engineering service at room and elevated temperatures

* The balance of the composition is iron.

Source: Adapted from Metals Handbook: Properties and Selection: Iron and Steel, Vol. 1, 9th edition, Barrie, B. ed., American Society for Metals, 1978.